

ИССЛЕДОВАНИЕ ОПЕРАЦИЙ

Поток в сети и его приложения

В.В. Лепин
Институт математики
НАН Беларуси, Минск

- Задача о максимальном потоке (MaxFlow): алгоритм Форда-Фалкерсона, теорема о максимальном потоке и минимальном разрезе;
- Двойственное объяснение алгоритма Форда-Фалкерсона и теоремы о максимальном потоке и минимальном разрезе;
- Эффективные алгоритмы для задачи о максимальном потоке: метод масштабирования, алгоритм Эдмонса-Карпа (Edmonds-Karp), алгоритм Диница (Dinic)
- Обобщения задачи о максимальном потоке : нижняя граница на пропускную способность, много источников & много стоков, косвенный граф.

Краткая история Задачи о максимальном потоке I

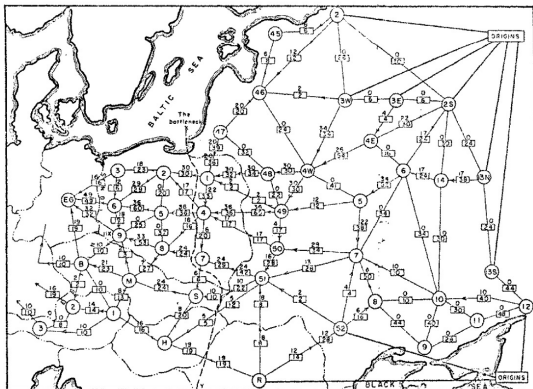


Рис.: Железно-дорожная сеть СССР, 1955

КРАТКАЯ ИСТОРИЯ ЗАДАЧИ О МАКСИМАЛЬНОМ ПОТОКЕ II

- *“Принципиальная схема железнодорожной сети Советского Союза и стран Восточной Европы. Максимальный поток 163 000 тонн из России в Восточную Европу и разрез с пропускной способностью 163 000 тонн, обозначен как "узкое место"...”*
- Недавно рассекреченный отчет ВВС США указывает, что первоначальная мотивация ЗАДАЧИ О МАКСИМАЛЬНОМ ПОТОКЕ и алгоритма ФОРДА-ФАЛКЕРСОНА заключалась в том *как наиболее эффективным образом нарушить железнодорожные перевозки Советского Союза* [А. Шрайвер, 2002].

ЗАДАЧА О МАКСИМАЛЬНОМ ПОТОКЕ и ЗАДАЧА О МИНИМАЛЬНОМ РАЗРЕЗЕ

ЗАДАЧА О МАКСИМАЛЬНОМ ПОТОКЕ

ВХОД:

Ориентированный граф $G = (V, E)$. Каждое ребро e имеет пропускную способность C_e . Два специальных узла:

источник s и **сток** t ;

ВЫХОД:

Для каждого ребра $e = (u, v)$ назначить поток $f(u, v) \leq C(u, v)$ такой, чтобы $\sum_{u, (s, u) \in E} f(s, u)$ была максимальной.

ЗАДАЧА О МАКСИМАЛЬНОМ ПОТОКЕ

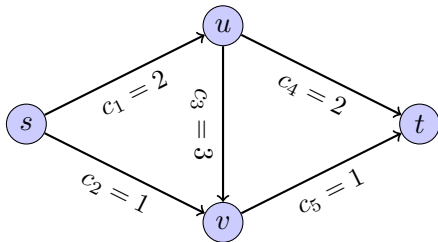
ВХОД:

Ориентированный граф $G = (V, E)$. Каждое ребро e имеет пропускную способность C_e . Два специальных узла:

источник s и **сток** t ;

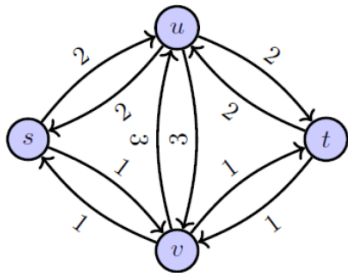
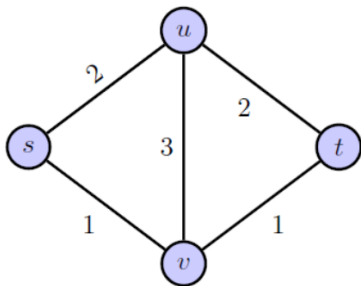
ВЫХОД:

Для каждого ребра $e = (u, v)$ назначить поток $f(u, v) \leq C(u, v)$ такой, чтобы $\sum_{u, (s, u) \in E} f(s, u)$ была максимальной.

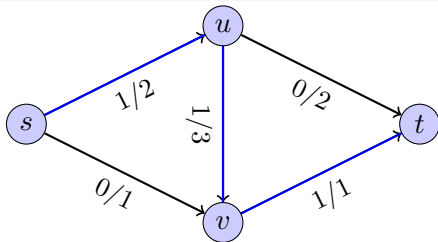


Цель: перевести как можно больше груза из **источника** s в **сток** t .

ПРЕОБРАЗОВАНИЕ НЕОРИЕНТИРОВАННОГО ГРАФА В СЕТЬ



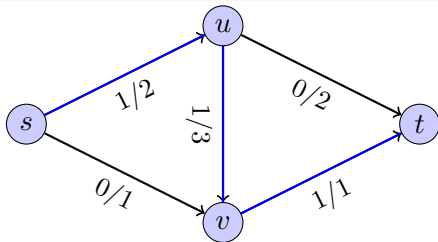
$s - t$ ПОТОК



$s - t$ ПОТОК

$f : E \rightarrow R^+$ называется **$s - t$ ПОТОКОМ** если:

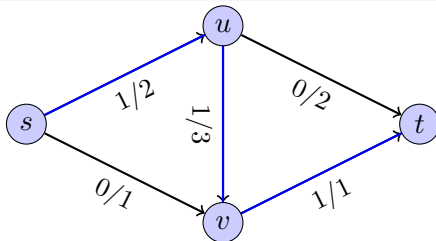
$s - t$ ПОТОК



$s - t$ ПОТОК

$f : E \rightarrow R^+$ называется **$s - t$ ПОТОКОМ** если:

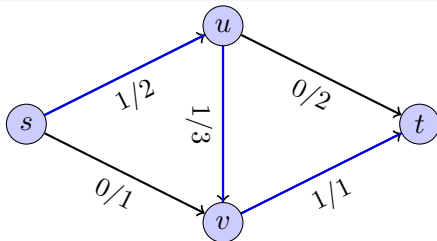
- 1 (Ограничения по пропускной способности):
 $0 \leq f(e) \leq C_e$ для всех ребер e ;



$s - t$ ПОТОК

$f : E \rightarrow R^+$ называется **$s - t$ ПОТОКОМ** если:

- 1 (Ограничения по пропускной способности):
 $0 \leq f(e) \leq C_e$ для всех ребер e ;
- 2 (Сохранение потока): Для любой промежуточной вершины $v \in V \setminus \{s, t\}$, $f^{in}(v) = f^{out}(v)$, где $f^{in}(v) = \sum_{e \text{ into } v} f(e)$ и $f^{out}(v) = \sum_{e \text{ out of } v} f(e)$. (Т.е. вход = выходу для любой внутренней вершины.)



$s - t$ ПОТОК

$f : E \rightarrow R^+$ называется **$s - t$ ПОТОКОМ** если:

- 1 (Ограничения по пропускной способности):
 $0 \leq f(e) \leq C_e$ для всех ребер e ;
- 2 (Сохранение потока): Для любой промежуточной вершины $v \in V \setminus \{s, t\}$, $f^{in}(v) = f^{out}(v)$, где $f^{in}(v) = \sum_{e \text{ into } v} f(e)$ и $f^{out}(v) = \sum_{e \text{ out of } v} f(e)$. (Т.е. вход = выходу для любой внутренней вершины.)

Величина потока f равна $|f| = f^{out}(s)$.

$s - t$ ПОТОК

$f : V \times V \rightarrow R^+$ называется $s - t$ **потоком** если:

- 1 (Ограничения по пропускной способности):
 $0 \leq x_{ij} \leq c_{ij} \quad \forall (i, j) \in E$;
- 2 (Сохранение потока): Для любой промежуточной вершины $\sum_{(i,j) \in E} x_{ij} = \sum_{(j,k) \in E} x_{jk} \quad \forall j \in V, j \neq s, t$
- 3 $x_{ij} = 0 \quad (i, j) \notin E$

Величина потока f равна $|f| = \sum_{(s,i) \in E} x_{si} = \sum_{(j,s) \in E} x_{js}$.

ЗАДАЧА О МИНИМАЛЬНОМ РАЗРЕЗЕ

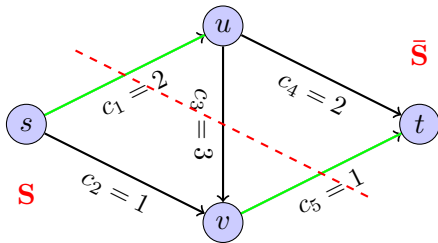
ВХОД:

Ориентированный граф $G = (V, E)$. Каждое ребро e имеет пропускную способность C_e . Два специальных узла:

источник s и **сток** t ;

ВЫХОД:

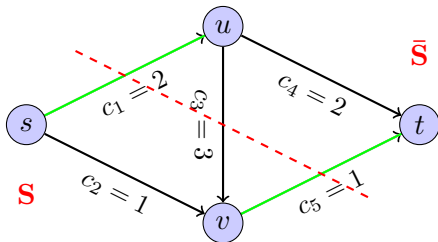
Найти $s - t$ разрез, имеющий минимальную пропускную способность.



$$C(S, \bar{S}) = 3$$

$s - t$ РАЗРЕ

$s - t$ **разрезом** называется разбиение (S, \bar{S}) множества V такое, что $s \in S$ и $t \in \bar{S}$. **Пропускная способность разреза (S, \bar{S})** определяется как $C(S, \bar{S}) = \sum_{e \text{ from } S \text{ to } \bar{S}} C(e)$.



$$C(S, \bar{S}) = 3$$

НЕКОТОРЫЕ АЛГОРИТМЫ РЕШЕНИЯ ЗАДАЧИ

Год	Разработчик	Трудоемкость
1956	L. R. Ford and D. R. Fulkerson	$O(mC)$
1970	Y. Dinitz	$O(mn^2)$
1972	J. Edmonds and R. Karp	$O(m^2n)$
1974	A. Karzanov	$O(n^3)$
1986	A. Goldberg and R. Tarjan	$O(mn^2), O(n^3), O(mn \log(\frac{n^2}{m}))$
2013	J. Orlin	$O(mn)$

АЛГОРИТМ ФОРДА — ФАЛКЕРСОНА [1956]

LESTER RANDOLPH FORD JR. AND DELBERT RAY FULKERSON



Рис.: Lester Randolph Ford Jr. and Delbert Ray Fulkerson

ЗАМЕЧАНИЕ 1: ТЕХНИКА ДИНАМИЧЕСКОГО ПРОГРАММИРОВАНИЯ

- Динамическое программирование, кажется, не работает, поскольку нелегко определить соответствующие подзадачи. Фактически, не существует эффективного алгоритма, известного для ЗАДАЧИ О МАКСИМАЛЬНОМ ПОТОКЕ, который действительно можно рассматривать как принадлежащий парадигме динамического программирования.

ЗАМЕЧАНИЕ 1: ТЕХНИКА ДИНАМИЧЕСКОГО ПРОГРАММИРОВАНИЯ

- Динамическое программирование, кажется, не работает, поскольку нелегко определить соответствующие подзадачи. Фактически, не существует эффективного алгоритма, известного для ЗАДАЧИ О МАКСИМАЛЬНОМ ПОТОКЕ, который действительно можно рассматривать как принадлежащий парадигме динамического программирования.
- Мы знаем, что ЗАДАЧА О МАКСИМАЛЬНОМ ПОТОКЕ находится в классе **P**, поскольку ее можно сформулировать как задачу линейного программирования. Однако сетевая структура имеет свойство, позволяющее использовать более эффективный алгоритм, неофициально называемый **сетевым симплекс методом**. Кроме того, специальные алгоритмы более эффективны.

ЗАМЕЧАНИЕ 2: СТРАТЕГИЯ УЛУЧШЕНИЯ

- Рассмотрим общую СТРАТЕГИЮ УЛУЧШЕНИЯ:

УЛУЧШЕНИЕ(f)

```
1:  $x = x_0$ ; //начинаем с исходного решения;  
2: while TRUE do  
3:    $x = \text{IMPROVE}(x)$ ; //сделать один шаг к  
   оптимальному;  
4:   if ВЫПОЛЯЕТСЯ КРИТЕКИЙ ОСТАНОВКИ( $x, f$ )  
   then  
5:     break;  
6:   end if  
7: end while  
8: return  $x$ ;
```

Три ключевых вопроса Стратегии улучшения

Три ключевых вопроса:

❶ Как построить начальное решение?

- Для Задачи о максимальном потоке, исходное решение может быть легко получено путем установки $f(e) = 0$ для каждого ребра e (называется 0-поток). Легко проверить, что ограничения по пропускной способности и сохранению выполняются для 0-потока.

Три ключевых вопроса Стратегии Улучшения

Три ключевых вопроса:

- ❶ Как построить начальное решение?
 - Для Задачи о максимальном потоке, исходное решение может быть легко получено путем установки $f(e) = 0$ для каждого ребра e (называется 0-поток). Легко проверить, что ограничения по пропускной способности и сохранению выполняются для 0-потока.
- ❷ Как улучшить решение?

Три ключевых вопроса Стратегии улучшения

Три ключевых вопроса:

- ❶ Как построить начальное решение?
 - Для Задачи о максимальном потоке, исходное решение может быть легко получено путем установки $f(e) = 0$ для каждого ребра e (называется 0-поток). Легко проверить, что ограничения по пропускной способности и сохранению выполняются для 0-потока.
- ❷ Как улучшить решение?
- ❸ Когда остановиться?

ИДЕЯ: УВЕЛИЧИВАТЬ ПОТОК ВДОЛЬ ПУТИ В ИСХОДНОМ ГРАФЕ

- Пусть p — простой $s - t$ путь в сети G .
 - 1: Инициализация $f(e) = 0$ для всех e .
 - 2: **while** существует $s - t$ путь в графе G **do**
 - 3: **Произвольно** выбрать $s - t$ путь p в графе G ;
 - 4: $f = \text{УВЕЛИЧЕНИЕ}(p, f)$;
 - 5: **end while**
 - 6: **return** f ;

УВЕЛИЧЕНИЕ ПОТОКА ВДОЛЬ ПУТИ

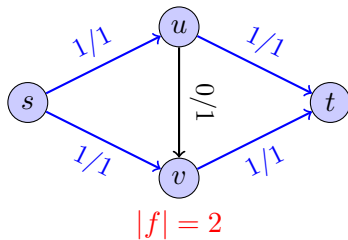
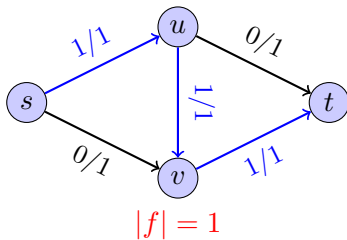
- Определим $bottleneck(p, f)$ как наименьшую остаточную пропускную способность ребер в пути p .

УВЕЛИЧЕНИЕ(p, f)

- 1: Пусть $b = bottleneck(p, f)$;
- 2: **for** каждого ребра $e = (u, v) \in p$ **do**
- 3: Увеличить $f(u, v)$ на b ;
- 4: **end for**

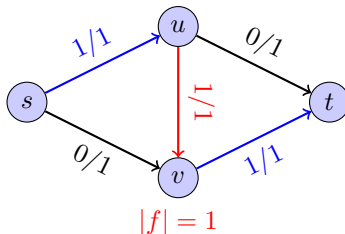
ПОЧЕМУ ВОЗМОЖНА НЕУДАЧА?

- Рассмотрим следующий пример. Мы начинаем с 0-потока и находим путь $s - t$ в G , скажем, $p = s \rightarrow u \rightarrow v \rightarrow t$, чтобы передать еще одну единицу товара для увеличения значения f .
- Однако мы не можем снова найти путь $s - t$ в G для дальнейшего увеличения f (левый рисунок), хотя максимальное значение потока составляет 2 (правый рисунок).



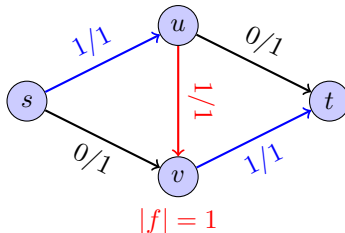
АЛГОРИТМ ФОРДА — ФАЛКЕРСОНА: ФУНКЦИОНАЛЬНОСТЬ “откат”

- Ключевое наблюдение:
 - При построении потока f можно допустить ошибки на некоторых ребрах, то есть такие ребра не должны использоваться для продвижения потока. Например, ребро $u \rightarrow v$ не должно использоваться.



АЛГОРИТМ ФОРДА — ФАЛКЕРСОНА: ФУНКЦИОНАЛЬНОСТЬ “откат”

- Ключевое наблюдение:
 - При построении потока f можно допустить ошибки на некоторых ребрах, то есть такие ребра не должны использоваться для продвижения потока. Например, ребро $u \rightarrow v$ не должно использоваться.



- Чтобы улучшить текущий поток f , мы должны разработать способ **исправлять такие ошибки**, то есть “отменять” передачу потока, назначенную для ребра.

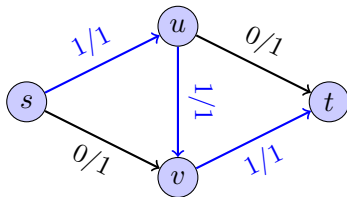
- Но как реализовать функциональность “откат”?

РЕАЛИЗАЦИЯ ФУНКЦИОНАЛЬНОСТИ “ОТКАТ”

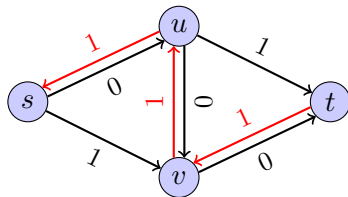
- Но как реализовать функциональность “откат”?
- **Добовлять обратные ребра!**

РЕАЛИЗАЦИЯ ФУНКЦИОНАЛЬНОСТИ “ОТКАТ”

- Но как реализовать функциональность “откат”?
- **Добавлять обратные ребра!**
- Предположим, мы добавляем **обратное** ребро $v \rightarrow u$ в исходный граф.
Затем мы можем исправить поток, направив его от v до u .



Поток f



Обратные ребра

ОСТАТОЧНАЯ СЕТЬ С “ОБРАТНЫМИ” РЕБРАМИ ДЛЯ КОРРЕКЦИИ ОШИБОК

DEFINITION

Для сети $G = (V, E)$ с потоком f определяем **Остаточный граф** $G_f = (V, E')$.

ОСТАТОЧНАЯ СЕТЬ С “обратными” РЕБРАМИ ДЛЯ КОРРЕКЦИИ ОШИБОК

DEFINITION

Для сети $G = (V, E)$ с потоком f определяем **Остаточный граф** $G_f = (V, E')$.

Для любого ребра $e = (u, v) \in E$ добавляются два ребра в E' следующим образом:

ОСТАТОЧНАЯ СЕТЬ С “ОБРАТНЫМИ” РЕБРАМИ ДЛЯ КОРРЕКЦИИ ОШИБОК

DEFINITION

Для сети $G = (V, E)$ с потоком f определяем **Остаточный граф** $G_f = (V, E')$.

Для любого ребра $e = (u, v) \in E$ добавляются два ребра в E' следующим образом:

- 1 **Прямое ребро** (u, v) с остаточной пропускной способностью: Если $f(e) < C(e)$, то ребро $e = (u, v)$ добавляется в G' с пропускной способностью $C(e) = C(e) - f(e)$.

ОСТАТОЧНАЯ СЕТЬ С “ОБРАТНЫМИ” РЕБРАМИ ДЛЯ КОРРЕКЦИИ ОШИБОК

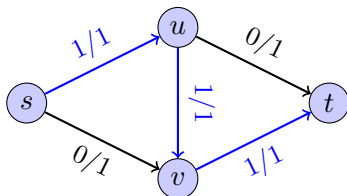
DEFINITION

Для сети $G = (V, E)$ с потоком f определяем **Остаточный граф** $G_f = (V, E')$.

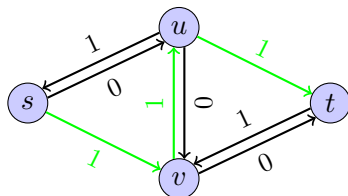
Для любого ребра $e = (u, v) \in E$ добавляются два ребра в E' следующим образом:

- 1 **Прямое ребро** (u, v) с остаточной пропускной способностью:
Если $f(e) < C(e)$, то ребро $e = (u, v)$ добавляется в G' с пропускной способностью $C(e) = C(e) - f(e)$.
- 2 **Обратное ребро** (v, u) с откатной пропускной способностью:
Если $f(e) > 0$, то ребро $e' = (v, u)$ добавляется в G' с пропускной способностью $C(e') = f(e)$.

Поиск $s - t$ пути в G_f вместо G



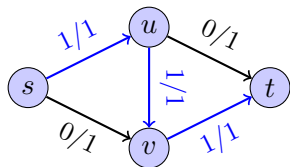
Поток f



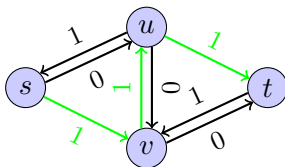
Остаточная сеть G_f

- Обратите внимание, что мы не можем найти путь $s - t$ в G ; однако, мы можем найти $s - t$ path $s \rightarrow v \rightarrow u \rightarrow t$ в G_f , который содержит обратное ребро (v, u) .

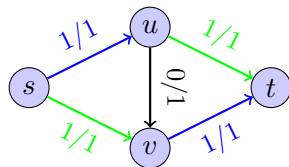
УВЕЛИЧЕНИЕ ПОТОКА f ВДОЛЬ ПУТИ $s - t$ В G_f



Поток f +



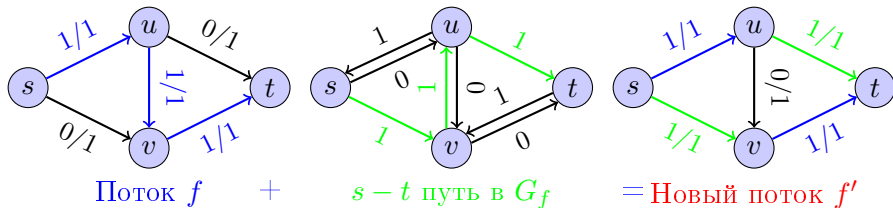
$s - t$ путь в G_f



= Новый поток f'

- Используя обратное ребро $v \rightarrow u$, ранее принятая передача от u к v отбрасывается.

УВЕЛИЧЕНИЕ ПОТОКА f ВДОЛЬ ПУТИ $s - t$ В G_f



- Используя обратное ребро $v \rightarrow u$, ранее принятая передача от u к v отбрасывается.
- Более конкретно, поток f , меняет свой путь (передача по $s \rightarrow u \rightarrow v \rightarrow t$ заменяется на $s \rightarrow u \rightarrow t$), кроме того используется путь $s \rightarrow v \rightarrow t$.

- Каждый простой $s - t$ путь p в G_f , называется **увеличивающим**. Пусть $bottleneck(p, f)$ — минимальная пропускная способность ребер в пути p .

- Каждый простой $s - t$ путь p в G_f , называется **увеличивающим**. Пусть $bottleneck(p, f)$ — минимальная пропускная способность ребер в пути p .

FORD-FULKERSON algorithm:

- 1: Инициализация: $f(e) = 0$ для всех e .
- 2: **while** существует $s - t$ путь в остаточной сети G_f **do**
- 3: **Произвольно** выбрать $s - t$ путь p в G_f ;
- 4: $f = \text{AUGMENT}(p, f)$;
- 5: **end while**
- 6: **return** f ;

Корректность и трудоемкость алгоритма

СВОЙСТВО 1: УВЕЛИЧЕНИЕ ГЕНЕРИРУЕТ НОВЫЙ ПОТОК

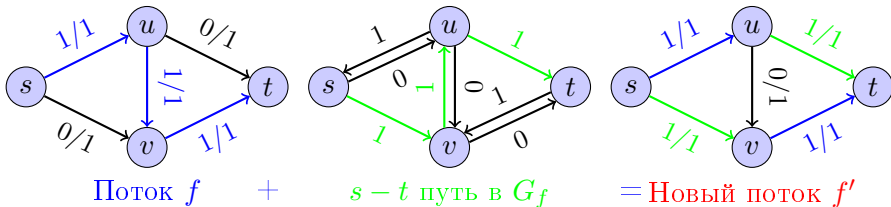
LEMMA

Операция $f' = \text{AUGMENT}(p, f)$ генерирует новый поток f' в G .

СВОЙСТВО 1: УВЕЛИЧЕНИЕ ГЕНЕРИРУЕТ НОВЫЙ ПОТОК

LEMMA

Операция $f' = \text{AUGMENT}(p, f)$ генерирует новый поток f' в G .



Доказательство.

- Проверим **ограничения по пропускной способности**: исследуем два возможных случая для ребра $e = (u, v)$ в пути p .

Доказательство.

- Проверим **ограничения по пропускной способности**: исследуем два возможных случая для ребра $e = (u, v)$ в пути p .
 - 1 (u, v) — прямое ребро, возникшее из $(u, v) \in E$:
$$0 \leq f(e) \leq f'(e) = f(e) + bottleneck(p, f) \leq f(e) + (C(e) - f(e)) \leq C(e).$$

Доказательство.

- Проверим **ограничения по пропускной способности**: исследуем два возможных случая для ребра $e = (u, v)$ в пути p .
 - 1 (u, v) — прямое ребро, возникшее из $(u, v) \in E$:
$$0 \leq f(e) \leq f'(e) = f(e) + bottleneck(p, f) \leq f(e) + (C(e) - f(e)) \leq C(e).$$
 - 2 (u, v) — обратное ребро, возникшее из $(v, u) \in E$:
$$C(e) \geq f(e) \geq f'(e) = f(e) - bottleneck(p, f) \geq f(e) - f(e) = 0.$$

Доказательство.

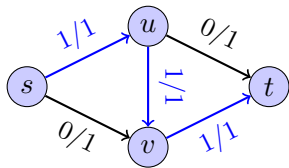
- Проверим **ограничения по пропускной способности**: исследуем два возможных случая для ребра $e = (u, v)$ в пути p .
 - 1 (u, v) — прямое ребро, возникшее из $(u, v) \in E$:
$$0 \leq f(e) \leq f'(e) = f(e) + bottleneck(p, f) \leq f(e) + (C(e) - f(e)) \leq C(e).$$
 - 2 (u, v) — обратное ребро, возникшее из $(v, u) \in E$:
$$C(e) \geq f(e) \geq f'(e) = f(e) - bottleneck(p, f) \geq f(e) - f(e) = 0.$$
- Проверим **ограничение по сохранению потока**: Для каждого узла v изменение количества потока, входящего в v , совпадает с изменением количества потока, выходящего из v .



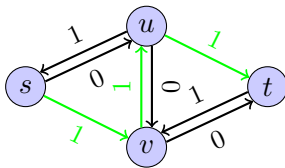
СВОЙСТВО 2: МОНОТОННОЕ ВОЗРАСТАНИЕ ПОТОКА

LEMMA

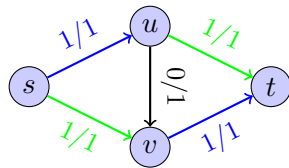
$$|f'| > |f|.$$



Поток f +



$s - t$ путь в G_f



= Новый поток f'

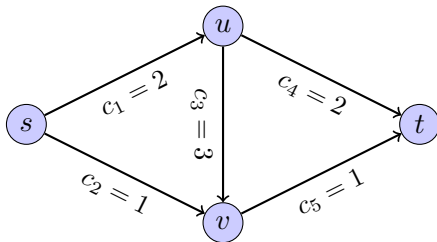
- Замечание: $|f'| = |f| + bottleneck(p, f) > |f|$ поскольку $bottleneck(p, f) > 0$.

СВОЙСТВО 3: ТРИВИАЛЬНАЯ ВЕРХНЯЯ ГРАНИЦА ПОТОКА

ЛЕММА

$|f|$ имеет верхнюю границу $C = \sum_{e \text{ смежно с } s} C(e)$.

(Замечание: ребра из s полностью насыщены потоком f .)



СВОЙСТВО 4: ШАГ УВЕЛИЧЕНИЯ

THEOREM

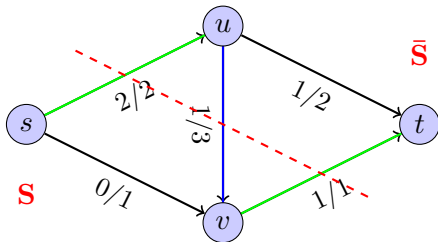
Если все ребра имеют целочисленные значения, то на каждом промежуточном этапе выполнения АЛГОРИТМА ФОРДА—ФАЛКЕРСОНА величина потока $|f|$ и остаточные пропускные способности являются целыми числами, а $bottleneck(p, f) \geq 1$. В цикле `while` не более C итераций.

- Трудоемкость: $O(mC)$.
 - $O(C)$ итераций: при разумном предположении, что все емкости являются целыми числами, $bottleneck(p, f) \geq 1$ на каждой итерации и, таким образом, $|f'| \geq |f| + 1$.
 - На каждой итерации требуется выполнить $O(m + n)$ операций, чтобы найти путь $s - t$ в G_f , используя технику DFS или BFS.
- Обратите внимание, что оценка не является полиномиальной, так как C операций — это экспоненциально от размера входных данных задачи.

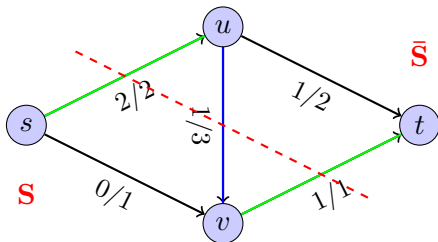
СВОЙСТВО 5: БОЛЕЕ ТОЧНАЯ ВЕРХНЯЯ ГРАНИЦА

THEOREM

Для любого потока f и $s-t$ разреза (S, \bar{S}) выполняется $|f| \leq C(S, \bar{S})$.



$$|f| = 2 \leq C(S, \bar{S}) = 3$$



Доказательство.

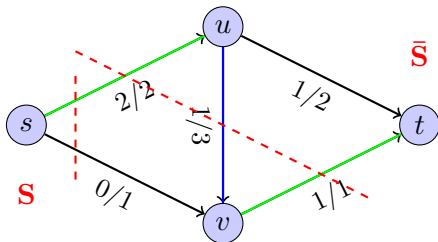
$$\begin{aligned}
 |f| &= f^{out}(S) - f^{in}(S) && \text{(по лемме о величине потока)} \\
 &\leq f^{out}(S) && \text{(поскольку } f^{in}(S) \geq 0) \\
 &= \sum_{e \in S \rightarrow \bar{S}} f(e) \\
 &\leq \sum_{e \in S \rightarrow \bar{S}} C(e) && \text{(поскольку } f(e) \leq C(e)) \\
 &= C(S, \bar{S})
 \end{aligned}$$



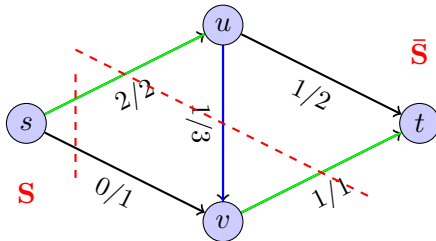
ЛЕММА О ВЕЛИЧИНЕ ПОТОКА

ЛЕММА

Для любого $s - t$ потока f и любого $s - t$ разреза (S, \bar{S}) величина потока проходящего через разрез равна $|f|$.
Формально, $|f| = f^{out}(S) - f^{in}(S)$.



$$|f| = 2 + 0 = 2$$
$$f^{out}(S) - f^{in}(S) = 2 + 1 - 1 = |f|$$



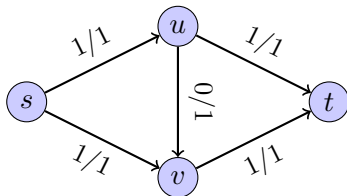
ДОКАЗАТЕЛЬСТВО.

- Для любого узла $v \neq s$ и $v \neq t$ выполняется $0 = f^{out}(v) - f^{in}(v)$
- Таким образом:

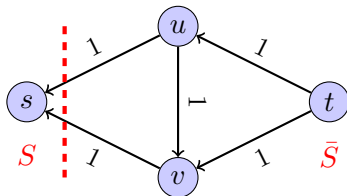
$$\begin{aligned}
 |f| &= f^{out}(s) - f^{in}(s) && // \text{ поскольку: } f^{in}(s) = 0 \\
 &= \sum_{v \in S} (f^{out}(v) - f^{in}(v)) \\
 &= \left(\sum_{e \in S \rightarrow \bar{S}} f(e) + \sum_{e \in S \rightarrow S} f(e) \right) \\
 &\quad - \left(\sum_{e \in \bar{S} \rightarrow S} f(e) + \sum_{e \in S \rightarrow S} f(e) \right) \\
 &= f^{out}(S) - f^{in}(S)
 \end{aligned}$$

THEOREM

АЛГОРИТМ ФОРДА — ФАЛКЕРСОНА *останавливается когда поток f наибольший и разрез (S, \bar{S}) — минимальный.*



Поток f



Остаточная сеть G_f

ДОКАЗАТЕЛЬСТВО.

- АЛГОРИТМ ФОРДА — ФАЛКЕРСОНА останавливается, когда не существует $s - t$ пути в остаточной сети G_f . Пусть S — множество узлов достижимых из s в G_f , и $\bar{S} = V - S$. (S, \bar{S}) образует $s - t$ разрез поскольку $S \neq \emptyset$ и $\bar{S} \neq \emptyset$.

ДОКАЗАТЕЛЬСТВО.

- АЛГОРИТМ ФОРДА — ФАЛКЕРСОНА останавливается, когда не существует $s - t$ пути в остаточной сети G_f . Пусть S — множество узлов достижимых из s в G_f , и $\bar{S} = V - S$. (S, \bar{S}) образует $s - t$ разрез поскольку $S \neq \phi$ и $\bar{S} \neq \phi$.
- Давайте рассмотрим два типа ребер $e = (u, v) \in E$ проходящих через разрез (S, \bar{S}) :

ДОКАЗАТЕЛЬСТВО.

- АЛГОРИТМ ФОРДА — ФАЛКЕРСОНА останавливается, когда не существует $s - t$ пути в остаточной сети G_f . Пусть S — множество узлов достижимых из s в G_f , и $\bar{S} = V - S$. (S, \bar{S}) образует $s - t$ разрез поскольку $S \neq \phi$ и $\bar{S} \neq \phi$.
- Давайте рассмотрим два типа ребер $e = (u, v) \in E$ проходящих через разрез (S, \bar{S}) :
 - ❶ $u \in S, v \in \bar{S}$: мы имеем $f(e) = C(e)$. (Иначе, S можно расширить, включив v , так как (u, v) находится в G_f .)

ДОКАЗАТЕЛЬСТВО.

- АЛГОРИТМ ФОРДА — ФАЛКЕРСОНА останавливается, когда не существует $s - t$ пути в остаточной сети G_f . Пусть S — множество узлов достижимых из s в G_f , и $\bar{S} = V - S$. (S, \bar{S}) образует $s - t$ разрез поскольку $S \neq \phi$ и $\bar{S} \neq \phi$.
- Давайте рассмотрим два типа ребер $e = (u, v) \in E$ проходящих через разрез (S, \bar{S}) :
 - 1 $u \in S, v \in \bar{S}$: мы имеем $f(e) = C(e)$. (Иначе, S можно расширить, включив v , так как (u, v) находится в G_f .)
 - 2 $u \in \bar{S}, v \in S$: мы имеем $f(e) = 0$. (Иначе, S можно расширить, включив u так как (v, u) находится в G_f .)

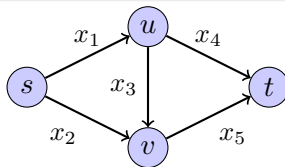
ДОКАЗАТЕЛЬСТВО.

- АЛГОРИТМ ФОРДА — ФАЛКЕРСОНА останавливается, когда не существует $s - t$ пути в остаточной сети G_f . Пусть S — множество узлов достижимых из s в G_f , и $\bar{S} = V - S$. (S, \bar{S}) образует $s - t$ разрез поскольку $S \neq \phi$ и $\bar{S} \neq \phi$.
- Давайте рассмотрим два типа ребер $e = (u, v) \in E$ проходящих через разрез (S, \bar{S}) :
 - ① $u \in S, v \in \bar{S}$: мы имеем $f(e) = C(e)$. (Иначе, S можно расширить, включив v , так как (u, v) находится в G_f .)
 - ② $u \in \bar{S}, v \in S$: мы имеем $f(e) = 0$. (Иначе, S можно расширить, включив u так как (v, u) находится в G_f .)
- Т.о., мы имеем

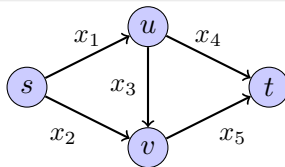
$$\begin{aligned} |f| &= f^{out}(S) - f^{in}(S) \\ &= f^{out}(S) && (\text{поскольку } f^{in}(S) = 0) \\ &= \sum_{e \in S \rightarrow \bar{S}} f(e) \\ &= \sum_{e \in S \rightarrow \bar{S}} C(e) && (\text{поскольку } f(e) = C(e)) \\ &= C(S, \bar{S}) \end{aligned}$$

Рассмотрим АЛГОРИТМ ФОРДА — ФАЛКЕРСОНА с точки зрения теории двойственности

ОБЪЯСНЕНИЕ ДВОЙСТВЕННОСТИ MAXFLOW-MINCUT: ДВОЙСТВЕННЫЕ ЗАДАЧИ



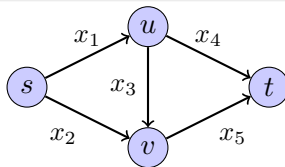
ОБЪЯСНЕНИЕ ДВОЙСТВЕННОСТИ MAXFLOW-MINCUT: ДВОЙСТВЕННЫЕ ЗАДАЧИ



Пусть x_i обозначает поток через ребро i .

ОБЪЯСНЕНИЕ ДВОЙСТВЕННОСТИ

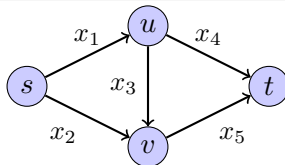
MAXFLOW-MINCUT: ДВОЙСТВЕННЫЕ ЗАДАЧИ



Пусть x_i обозначает поток через ребро i .

$$\begin{array}{rcll}
 \max & & f & \\
 s.t. & x_1 + x_2 & -f & = 0 \text{ vertex } s \\
 & & -x_4 - x_5 + f & = 0 \text{ vertex } t \\
 & -x_1 + x_3 + x_4 & & = 0 \text{ vertex } u \\
 & -x_2 - x_3 + x_5 & & = 0 \text{ vertex } v \\
 & x_1 & & \leq C_1 \\
 & x_2 & & \leq C_2 \\
 & x_3 & & \leq C_3 \\
 & x_4 & & \leq C_4 \\
 & x_5 & & \leq C_5 \\
 & x_1, x_2, x_3, x_4, x_5 & & \geq 0
 \end{array}$$

ЭКВИВАЛЕНТНАЯ ВЕРСИЯ



$$\begin{array}{rcll}
 \max & & f & \\
 s.t. & x_1 + x_2 & -f & \leq 0 \text{ vertex } s \\
 & & -x_4 - x_5 + f & \leq 0 \text{ vertex } t \\
 & -x_1 & +x_3 + x_4 & \leq 0 \text{ vertex } u \\
 & -x_2 - x_3 & +x_5 & \leq 0 \text{ vertex } v \\
 & x_1 & & \leq C_1 \\
 & & x_2 & \leq C_2 \\
 & & & x_3 & \leq C_3 \\
 & & & & x_4 & \leq C_4 \\
 & & & & & x_5 & \leq C_5 \\
 & x_1, & x_2, & x_3, & x_4, & x_5 & \geq 0
 \end{array}$$

Отметим, что: из ограничений (1), (2), (3), и (4) следует равенство $-x_2 - x_3 + x_5 = 0$. Таким же образом получим другие равенства.

ОБЪЯСНЕНИЕ ДВОЙСТВЕННОСТИ: ОСНОВНАЯ ЗАДАЧА

ОСНОВНАЯ ЗАДАЧА: множество переменных z для **узлов**.

$$\begin{array}{rcccccccc}
 \min & & & & C_1 z_1 & +C_2 z_2 & +C_3 z_3 & +C_4 z_4 & +C_5 z_5 \\
 s.t. & y_s & -y_u & & +z_1 & & & & \geq 0 \\
 & y_s & & -y_v & & +z_2 & & & \geq 0 \\
 & & y_u & -y_v & & & +z_3 & & \geq 0 \\
 & -y_t & +y_u & & & & & +z_4 & \geq 0 \\
 & -y_t & & +y_v & & & & & +z_5 \geq 0 \\
 -y_s & +y_t & & & & & & & \geq 1 \\
 y_s, & y_t, & y_u, & y_v, & z_1, & z_2, & z_3, & z_4, & z_5 \geq 0
 \end{array}$$

Объяснение двойственности: основная задача

Основная задача: множество переменных z для **узлов**.

$$\begin{array}{rcccccccc}
 \min & & & & C_1 z_1 & +C_2 z_2 & +C_3 z_3 & +C_4 z_4 & +C_5 z_5 \\
 s.t. & y_s & & -y_u & +z_1 & & & & \\
 & y_s & & & & +z_2 & & & \\
 & & & y_u & -y_v & & +z_3 & & \\
 & & -y_t & +y_u & & & & +z_4 & \\
 & & -y_t & & +y_v & & & & +z_5 \\
 & -y_s & +y_t & & & & & & \\
 & y_s, & y_t, & y_u, & y_v, & z_1, & z_2, & z_3, & z_4, & z_5
 \end{array}
 \begin{array}{l}
 \\
 \\
 \\
 \\
 \\
 \\
 \\
 \\
 \\
 \geq 0 \\
 \geq 0 \\
 \geq 0 \\
 \geq 0 \\
 \geq 0 \\
 \geq 1 \\
 \geq 0
 \end{array}$$

Отметим, что:

ОСНОВНАЯ ЗАДАЧА: множество переменных z для **узлов**.

$$\begin{array}{rcccccccc}
 \min & & & & C_1 z_1 & +C_2 z_2 & +C_3 z_3 & +C_4 z_4 & +C_5 z_5 \\
 s.t. & y_s & & -y_u & +z_1 & & & & \\
 & y_s & & & & +z_2 & & & \\
 & & y_u & -y_v & & & +z_3 & & \\
 & -y_t & +y_u & & & & & +z_4 & \\
 & -y_t & & +y_v & & & & & +z_5 \\
 & -y_s & +y_t & & & & & & \\
 & y_s, & y_t, & y_u, & y_v, & z_1, & z_2, & z_3, & z_4, & z_5
 \end{array}
 \begin{array}{l}
 \\
 \\
 \\
 \\
 \\
 \\
 \\
 \\
 \\
 \end{array}
 \begin{array}{l}
 \geq 0 \\
 \geq 0 \\
 \geq 0 \\
 \geq 0 \\
 \geq 0 \\
 \geq 1 \\
 \geq 0
 \end{array}$$

Отметим, что:

- Поскольку ограничения связаны с разницей между y_s, y_u, y_v и y_t , одно из них можно изменить без последствий.
Зафиксируем $y_s = 0$. Получим $y_t \geq 1$ (из ограничения (6)).

ОСНОВНАЯ ЗАДАЧА: множество переменных z для **узлов**.

$$\begin{array}{rcccccccc}
 \min & & & & C_1 z_1 & +C_2 z_2 & +C_3 z_3 & +C_4 z_4 & +C_5 z_5 \\
 s.t. & y_s & & -y_u & +z_1 & & & & \geq 0 \\
 & y_s & & & & & +z_2 & & \geq 0 \\
 & & & y_u & -y_v & & & +z_3 & \geq 0 \\
 & & -y_t & +y_u & & & & +z_4 & \geq 0 \\
 & & -y_t & & +y_v & & & & +z_5 \geq 0 \\
 & -y_s & +y_t & & & & & & \geq 1 \\
 & y_s, & y_t, & y_u, & y_v, & z_1, & z_2, & z_3, & z_4, & z_5 \geq 0
 \end{array}$$

Отметим, что:

- Поскольку ограничения связаны с разницей между y_s, y_u, y_v и y_t , одно из них можно изменить без последствий.
Зафиксируем $y_s = 0$. Получим $y_t \geq 1$ (из ограничения (6)).
- Ограничение (4) требует $z_4 \geq y_t - y_u$, и цель состоит в том, чтобы минимизировать функцию, содержащую $C_4 z_4$, потребуем $y_t = 1$.

ОСНОВНАЯ ЗАДАЧА: множество переменных z для **узлов**.

$$\begin{array}{rcccccccc}
 \min & & & & C_1 z_1 & +C_2 z_2 & +C_3 z_3 & +C_4 z_4 & +C_5 z_5 \\
 s.t. & y_s & -y_u & & +z_1 & & & & \geq 0 \\
 & y_s & & -y_v & & +z_2 & & & \geq 0 \\
 & & y_u & -y_v & & & +z_3 & & \geq 0 \\
 & -y_t & +y_u & & & & & +z_4 & \geq 0 \\
 & -y_t & & +y_v & & & & & +z_5 \geq 0 \\
 & -y_s & +y_t & & & & & & \geq 1 \\
 & y_s, & y_t, & y_u, & y_v, & z_1, & z_2, & z_3, & z_4, & z_5 \geq 0
 \end{array}$$

Отметим, что:

- Поскольку ограничения связаны с разницей между y_s, y_u, y_v и y_t , одно из них можно изменить без последствий.
Зафиксируем $y_s = 0$. Получим $y_t \geq 1$ (из ограничения (6)).
- Ограничение (4) требует $z_4 \geq y_t - y_u$, и цель состоит в том, чтобы минимизировать функцию, содержащую $C_4 z_4$, потребуем $y_t = 1$.
- Ограничение (1) требует $z_1 \geq y_u$, и цель состоит в том, чтобы минимизировать функцию, содержащую $C_1 z_1$, потребуем $z_1 = y_u$. Так же поступим с ограничением (2).

ЭКВИВАЛЕНТНАЯ LP МОДЕЛЬ

ПРЯМАЯ: множество переменных для **узлов**.

$$\begin{array}{llllllllll}
 \min & & & C_1 z_1 & +C_2 z_2 & +C_3 z_3 & +C_4 z_4 & +C_5 z_5 & & \\
 s.t. & -y_u & & +z_1 & & & & & & = 0 \\
 & & -y_v & & +z_2 & & & & & = 0 \\
 & y_u & -y_v & & & +z_3 & & & & \geq 0 \\
 & y_u & & & & & +z_4 & & & \geq 1 \\
 & & y_v & & & & & +z_5 & & \geq 1 \\
 y_s & & & & & & & & & = 0 \\
 & y_t & & & & & & & & = 1 \\
 & & y_u, & y_v, & z_1, & z_2, & z_3, & z_4, & z_5 & \geq 0
 \end{array}$$

Отметим, что: коэффициенты ограничений (3), (4) и (5) образуют вполне унимодулярную матрицу, поэтому оптимальное решение является целочисленным.

ЭКВИВАЛЕНТНАЯ ILP МОДЕЛЬ

ПРЯМАЯ: множество переменных для **узлов**.

$$\begin{array}{llllllllll}
 \min & & & C_1 z_1 & +C_2 z_2 & +C_3 z_3 & +C_4 z_4 & +C_5 z_5 & & \\
 s.t. & -y_u & & +z_1 & & & & & & = 0 \\
 & & -y_v & & +z_2 & & & & & = 0 \\
 & y_u & -y_v & & & +z_3 & & & & \geq 0 \\
 & y_u & & & & & +z_4 & & & \geq 1 \\
 & & y_v & & & & & +z_5 & & \geq 1 \\
 y_s & & & & & & & & & = 0 \\
 & y_t & & & & & & & & = 1 \\
 & y_u, & y_v, & z_1, & z_2, & z_3, & z_4, & z_5 & = 0/1
 \end{array}$$

MAXFLOW-MINCUT: ДВОЙСТВЕННОСТЬ

$$\begin{array}{rcccccccc}
 \min & & & C_1 z_1 & +C_2 z_2 & +C_3 z_3 & +C_4 z_4 & +C_5 z_5 \\
 s.t. & -y_u & & +z_1 & & & & & = 0 \\
 & & -y_v & & +z_2 & & & & = 0 \\
 & y_u & -y_v & & & +z_3 & & & \geq 0 \\
 & y_u & & & & & +z_4 & & \geq 1 \\
 & & y_v & & & & & +z_5 & \geq 1 \\
 y_s & & & & & & & & = 0 \\
 & y_t & & & & & & & = 1 \\
 & & y_u, & y_v, & z_1, & z_2, & z_3, & z_4, & z_5 = 0/1
 \end{array}$$

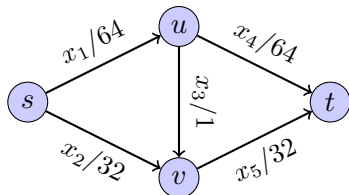
- Предположим, мы объясняем первичные переменные как:
 - y_i представляет находится ли узел i в S или \bar{S} : если узел i в S , то $y_i = 0$, и $y_i = 1$ иначе.
 - z_i представляет находится ли ребро в разрезе: например, $z_1 = 1$ если $y_s = 0$ и $y_u = 1$, т.е., ребро (s, u) разрезается.
- В основной задаче нужно найти минимальный разрез.
- Слабая двойственность дает $f \leq c$, а сильная двойственность эквивалентна ТЕОРЕМЕ О МАКСИМАЛЬНОМ ПОТОКЕ И МИНИМАЛЬНОМ РАЗРЕЗЕ.

Алгоритм Форда — Фалкерсона является
прямо-двойственным алгоритмом

ПРЯМО-ДВОЙСТВЕННЫЙ АЛГОРИТМ

- Напомним, что общий прямо-двойственный алгоритм можно описать следующим образом.
 - 1: Инициализируем \mathbf{x} как двойственное допустимое решение;
 - 2: **while** TRUE **do**
 - 3: Построить DRP соответствующее \mathbf{x} ;
 - 4: Пусть ω_{opt} — оптимальное решение DRP;
 - 5: **if** $\omega_{opt} = 0$ **then**
 - 6: **return** \mathbf{x} ;
 - 7: **else**
 - 8: Исправить \mathbf{x} в соответствии с оптимальным решением DRP;
 - 9: **end if**
 - 10: **end while**
- Мы покажем, что решение DRP эквивалентно нахождению увеличивающего пути в остаточной сети.

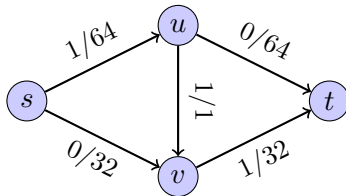
ДВОЙСТВЕННАЯ ЗАДАЧА И DRP I



- Двойственная D: множество переменных для **ребер**;

$$\begin{array}{llllll}
 \max & & & & & f \\
 s.t. & x_1 & +x_2 & & & -f \leq 0 \text{ vertex } s \\
 & & & -x_4 & -x_5 & +f \leq 0 \text{ vertex } t \\
 & -x_1 & & +x_3 & +x_4 & \leq 0 \text{ vertex } u \\
 & & -x_2 & -x_3 & & +x_5 \leq 0 \text{ vertex } v \\
 & x_1 & & & & \leq 64 \\
 & & x_2 & & & \leq 32 \\
 & & & x_3 & & \leq 1 \\
 & & & & x_4 & \leq 64 \\
 & & & & & x_5 \leq 32 \\
 & x_1, & x_2, & x_3, & x_4, & x_5 \geq 0
 \end{array}$$

ДВОЙСТВЕННАЯ ЗАДАЧА И DRP II



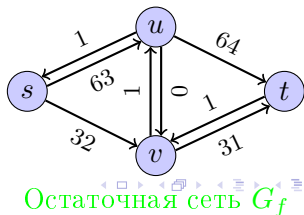
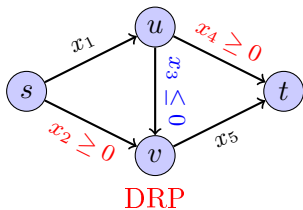
- Давайте рассмотрим двойное допустимое решение $\mathbf{x} = (1, 0, 1, 0, 1)$. Напомним, как формулируется *DRP* из *D*:
 - Замена правой стороны C_i на 0;
 - Добавляются ограничения: $x_i \leq 1, f \leq 1$;
 - Сохраняем только жесткие ограничения J . Делим J на два множества, т.е. $J = J^S \cup J^E$, где J^S содержит насыщенные ребра $J^S = \{i | x_i = C_i\}$, и J^E содержит пустые ребра $J^E = \{i | x_i = 0\}$. В приведенном примере, $J_S = \{3\}$, and $J_E = \{2, 4\}$.

DRP СООТВЕТСТВУЕТ НАХОЖДЕНИЮ УВЕЛИЧИВАЮЩЕГО ПУТИ

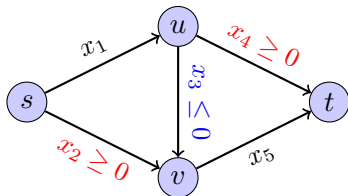
- DRP:

$$\begin{array}{llllll}
 \max & & & & f & \\
 s.t. & x_1 & +x_2 & & -f & = 0 \text{ vertex } s \\
 & & & -x_4 & -x_5 & +f = 0 \text{ vertex } t \\
 & -x_1 & & +x_3 & +x_4 & = 0 \text{ vertex } u \\
 & & -x_2 & -x_3 & & +x_5 = 0 \text{ vertex } v \\
 & & & x_i & & \leq 0 \quad i \in J^S \\
 & & & x_j & & \geq 0 \quad j \in J^E \\
 & x_1, & x_2, & x_3, & x_4, & x_5, & f \leq 1
 \end{array}$$

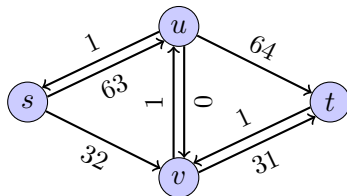
- $\omega_{OPT} = 0$ подразумевает, что найдено оптимальное решение. Наоборот, $\omega_{OPT} = 1$ подразумевает, что найден увеличивающий $s - t$ путь (с единичным потоком) в G_f .



DRP и УВЕЛИЧИВАЮЩИЙ ПУТЬ В ОСТАТОЧНОЙ СЕТИ



DRP



Остаточная сеть G_f

- Обратите внимание, что DRP соответствует поиску увеличивающего пути в остаточной сети G_f .
 - $x_i \leq 0, i \in J^S$, например, x_3 , обозначает обратное ребро.
 - $x_j \geq 0, j \in J^E$, например, x_2 , обозначает прямое ребро,
 - и для других ребер, не существует ограничений x_i , например, x_1 .
- Т.о., Алгоритм Форда — Фалкерсона является по существу прямо-двойственным алгоритмом.

ПЛОХОЙ ПРИМЕР ДЛЯ АЛГОРИТМА FORD-FULKERSON

ВАЖНОСТЬ ЦЕЛОЧИСЛЕННЫХ ОГРАНИЧЕНИЙ

- В анализе Алгоритм Форда — Фалкерсона, целочисленность ограничений важно: узкое место даст увеличение по меньшей мере на 1.

ВАЖНОСТЬ ЦЕЛОЧИСЛЕННЫХ ОГРАНИЧЕНИЙ

- В анализе Алгоритм Форда — Фалкерсона, целочисленность ограничений важно: узкое место даст увеличение по меньшей мере на 1.
- Анализ не корректен, если пропускные способности могут быть иррациональными.

ВАЖНОСТЬ ЦЕЛОЧИСЛЕННЫХ ОГРАНИЧЕНИЙ

- В анализе АЛГОРИТМ ФОРДА — ФАЛКЕРСОНА, целочисленность ограничений важно: узкое место даст увеличение по меньшей мере на 1.
- Анализ не корректен, если пропускные способности могут быть нерациональными.

На самом деле поток может увеличиваться на все меньшее и меньшее число, и итераций будет бесконечно много.

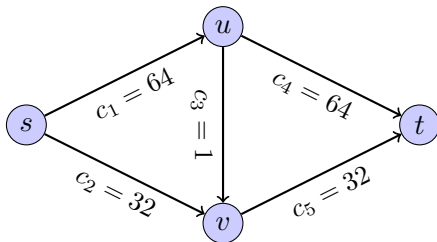
ВАЖНОСТЬ ЦЕЛОЧИСЛЕННЫХ ОГРАНИЧЕНИЙ

- В анализе АЛГОРИТМ ФОРДА — ФАЛКЕРСОНА, целочисленность ограничений важно: узкое место даст увеличение по меньшей мере на 1.
- Анализ не корректен, если пропускные способности могут быть нерациональными.

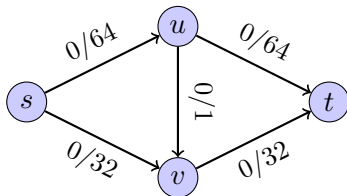
На самом деле поток может увеличиваться на все меньшее и меньшее число, и итераций будет бесконечно много.

Хуже того, эти бесконечные итерации могут не сходиться к максимальному потоку.

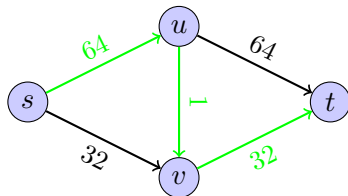
АЛГОРИТМ ФОРДА — ФАЛКЕРСОНА: плохой пример 2



ПЛОХОЙ ПРИМЕР ДЛЯ АЛГОРИТМА ФОРДА — ФАЛКЕРСОНА: ШАГ 1

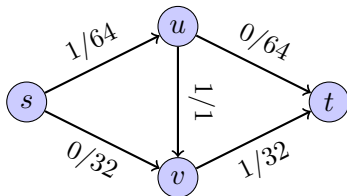


Поток $f : |f| = 0$

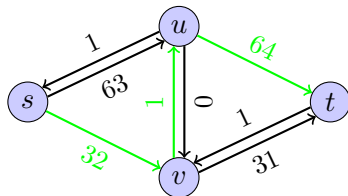


$s - t$ путь в G_f

ПЛОХОЙ ПРИМЕР ДЛЯ АЛГОРИТМА ФОРДА — ФАЛКЕРСОНА: ШАГ 2

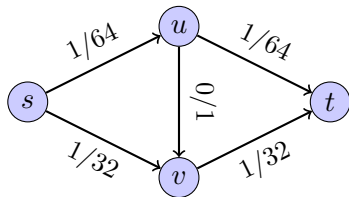


Поток $f : |f| = 1$



$s - t$ путь в G_f

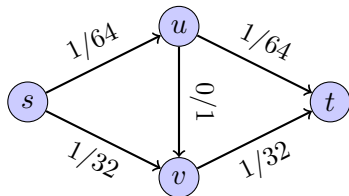
ПЛОХОЙ ПРИМЕР ДЛЯ АЛГОРИТМА ФОРДА — ФАЛКЕРСОНА: ШАГ 3



Поток $f : |f| = 2$

- Обратите внимание, что после двух итераций эта проблема аналогична исходной, за исключением того, что пропускные способности на (s, u) , (s, v) , (u, t) , (v, t) уменьшаются на 1.

ПЛОХОЙ ПРИМЕР ДЛЯ АЛГОРИТМА ФОРДА — ФАЛКЕРСОНА: ШАГ 3



Поток $f : |f| = 2$

- Обратите внимание, что после двух итераций эта проблема аналогична исходной, за исключением того, что пропускные способности на (s, u) , (s, v) , (u, t) , (v, t) уменьшаются на 1.
- Т.о., АЛГОРИТМ ФОРДА — ФАЛКЕРСОНА остановится после выполнения $64 + 32$ итераций, поскольку $bottleneck = 1$ на всех итерациях.

- Произвольный выбор увеличивающих путей приводит к следующим слабостям:

- Произвольный выбор увеличивающих путей приводит к следующим слабостям:
 - Путь с небольшой пропускной способностью выбирается как увеличивающий путь

- Произвольный выбор увеличивающих путей приводит к следующим слабостям:
 - Путь с небольшой пропускной способностью выбирается как увеличивающий путь
 - Мы увеличиваем поток за много большее число шагов, чем в лучшем случае.

- Произвольный выбор увеличивающих путей приводит к следующим слабостям:
 - Путь с небольшой пропускной способностью выбирается как увеличивающий путь
 - Мы увеличиваем поток за много большее число шагов, чем в лучшем случае.
- В оригинальной работе Форда и Фалкерсона было рассмотрено несколько эвристик для улучшения.

- Различные стратегии выбора увеличивающего пути в G_f :

- Различные стратегии выбора увеличивающего пути в G_f :
 - 1 Толстые трубы:

- Различные стратегии выбора увеличивающего пути в G_f :
 - ① Толстые трубы:
 - Выбрать увеличивающий путь с **наибольшей пропускной способностью** или использовать **масштабирование**.

- Различные стратегии выбора увеличивающего пути в G_f :
 - 1 Толстые трубы:
 - Выбрать увеличивающий путь с **наибольшей пропускной способностью** или использовать **масштабирование**.
 - 2 Короткие трубы:

- Различные стратегии выбора увеличивающего пути в G_f :
 - 1 Толстые трубы:
 - Выбрать увеличивающий путь с **наибольшей пропускной способностью** или использовать **масштабирование**.
 - 2 Короткие трубы:
 - АЛГОРИТМ ЭДМОНСА-КАРПА находит **кратчайший увеличивающий путь**.

- Различные стратегии выбора увеличивающего пути в G_f :
 - 1 Толстые трубы:
 - Выбрать увеличивающий путь с **наибольшей пропускной способностью** или использовать **масштабирование**.
 - 2 Короткие трубы:
 - Алгоритм Эдмонса-Карпа находит **кратчайший увеличивающий путь**.
 - Алгоритм Диница: расширяет **BFS дерево** чтобы построить **уровневую сеть** находит увеличение потока в уровневой сети. Для оценки выполняется **аматризационный анализ**.

- Различные стратегии выбора увеличивающего пути в G_f :
 - 1 Толстые трубы:
 - Выбрать увеличивающий путь с **наибольшей пропускной способностью** или использовать **масштабирование**.
 - 2 Короткие трубы:
 - Алгоритм Эдмонса-Карпа находит **кратчайший увеличивающий путь**.
 - Алгоритм Диница: расширяет **BFS дерево** чтобы построить **уровневую сеть** находит увеличение потока в уровневой сети. Для оценки выполняется **аматризационный анализ**.
 - Алгоритм Диница: выполняет **DFS** в **уровневой сети** чтобы найти **блокирующий поток**, который насыщает **все кратчайшие увеличивающие пути**.

- Различные стратегии выбора увеличивающего пути в G_f :
 - 1 Толстые трубы:
 - Выбрать увеличивающий путь с **наибольшей пропускной способностью** или использовать **масштабирование**.
 - 2 Короткие трубы:
 - Алгоритм Эдмонса-Карпа находит **кратчайший увеличивающий путь**.
 - Алгоритм Диница: расширяет **BFS дерево** чтобы построить **уровневую сеть** находит увеличение потока в уровневой сети. Для оценки выполняется **аматризационный анализ**.
 - Алгоритм Диница: выполняет **DFS** в **уровневой сети** чтобы найти **блокирующий поток**, который насыщает **все кратчайшие увеличивающие пути**.
 - Алгоритм Карзанова: **насыщает ребра** когда строит блокирующий поток. Используется идея **предпотока**.

- Различные стратегии выбора увеличивающего пути в G_f :
 - 1 Толстые трубы:
 - Выбрать увеличивающий путь с **наибольшей пропускной способностью** или использовать **масштабирование**.
 - 2 Короткие трубы:
 - АЛГОРИТМ ЭДМОНСА-КАРПА находит **кратчайший увеличивающий путь**.
 - Алгоритм Диница: расширяет **BFS дерево** чтобы построить **уровневую сеть** находит увеличение потока в уровневой сети. Для оценки выполняется **аматризационный анализ**.
 - Алгоритм Диница: выполняет **DFS** в **уровневой сети** чтобы найти **блокирующий поток**, который насыщает **все кратчайшие увеличивающие пути**.
 - Алгоритм Карзанова: **насыщает ребра** когда строит блокирующий поток. Используется идея **предпотока**.
 - АЛГОРИТМ «ПОДНЯТЬ В НАЧАЛО»: использует идею предпотока; однако, предпоток строится не в **уровневой сети**, а в остаточной сети. Используются **метки расстояний чтобы оценить расстояние от узла до t** .

Улучшение 1: Техника масштабирования (Диниц)

- Вопрос: можем ли мы выбрать увеличивающий путь с **большой пропускной способностью**? Если $bottleneck(p, f)$ большое, то, возможно, потребуется меньше итераций.

- Вопрос: можем ли мы выбрать увеличивающий путь с **большой пропускной способностью**? Если $bottleneck(p, f)$ большое, то, возможно, потребуется меньше итераций.
- $s - t$ путь p в G_f с **наибольшим** $bottleneck(p, f)$ можно найти, используя бинарный поиск, или немного измененным алгоритмом Дейкстры, за время $O(m + n \log n)$; однако, это все еще не совсем эффективно.

- Вопрос: можем ли мы выбрать увеличивающий путь с **большой пропускной способностью**? Если $bottleneck(p, f)$ большое, то, возможно, потребуется меньше итераций.
- $s - t$ путь p в G_f с **наибольшим $bottleneck(p, f)$** можно найти, используя бинарный поиск, или немного измененным алгоритмом Дейкстры, за время $O(m + n \log n)$; однако, это все еще не совсем эффективно.
- Идея: ослабить требование **“наибольшей”** на **“достаточно большой”**. В частности, мы можем установить нижнюю границу Δ для $bottleneck(P, f)$ посредством **удаления “малых” ребер**, т.е. ребра с пропускной способностью меньше чем Δ удаляются из $G(f)$. Такая остаточная сеть обозначается как $G_f(\Delta)$ и Δ будет уменьшаться по мере продолжения итераций.

• МАСШТАБИРОВАНИЕ-ФОРДА - ФАЛКЕРСОНА(G)

- 1: Инициализация: $f(e) = 0$ для всех e .
- 2: Пусть $\Delta = C$;
- 3: **while** $\Delta \geq 1$ **do**
- 4: **while** существует $s - t$ путь в $G_f(\Delta)$ **do**
- 5: Выбрать $s - t$ путь p ;
- 6: $f = \text{AUGMENT}(p, f)$;
- 7: **end while**
- 8: $\Delta = \frac{\Delta}{2}$;
- 9: **end while**
- 10: **return** f ;

- МАСШТАБИРОВАНИЕ-ФОРДА - ФАЛКЕРСОНА(G)

1: Инициализация: $f(e) = 0$ для всех e .

2: Пусть $\Delta = C$;

3: **while** $\Delta \geq 1$ **do**

4: **while** существует $s - t$ путь в $G_f(\Delta)$ **do**

5: Выбрать $s - t$ путь p ;

6: $f = \text{AUGMENT}(p, f)$;

7: **end while**

8: $\Delta = \frac{\Delta}{2}$;

9: **end while**

10: **return** f ;

- Замечание: поток увеличивается с большим шагом по мере возможности; в противном случае размер шага уменьшается. Размер шага контролируется путем удаления «маленьких» ребер из остаточной сети.

- МАСШТАБИРОВАНИЕ-ФОРДА - ФАЛКЕРСОНА(G)

1: Инициализация: $f(e) = 0$ для всех e .

2: Пусть $\Delta = C$;

3: **while** $\Delta \geq 1$ **do**

4: **while** существует $s - t$ путь в $G_f(\Delta)$ **do**

5: Выбрать $s - t$ путь p ;

6: $f = \text{AUGMENT}(p, f)$;

7: **end while**

8: $\Delta = \frac{\Delta}{2}$;

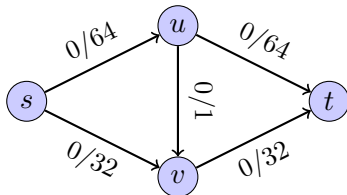
9: **end while**

10: **return** f ;

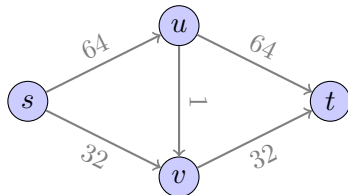
- Замечание: поток увеличивается с большим шагом по мере возможности; в противном случае размер шага уменьшается. Размер шага контролируется путем удаления «маленьких» ребер из остаточной сети.

- Отметим, что Δ окончательно станет равной 1; таким образом, никакие ребра в остаточном графе не будут игнорироваться.

ПРИМЕР: ШАГ 1



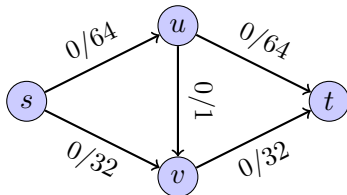
Поток $f : |f| = 0$



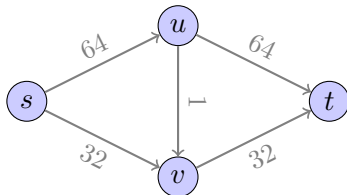
Нет $s - t$ путей в G_f

- Поток: нулевой поток;

ПРИМЕР: ШАГ 1



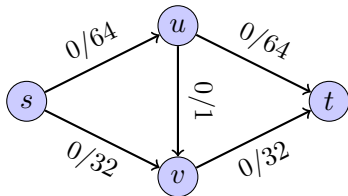
Поток $f : |f| = 0$



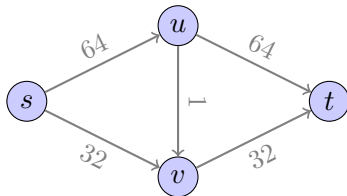
Нет $s - t$ путей в G_f

- Поток: нулевой поток;
- Δ : $\Delta = 96$;

ПРИМЕР: ШАГ 1



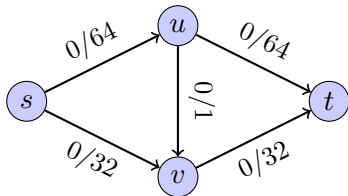
Поток $f : |f| = 0$



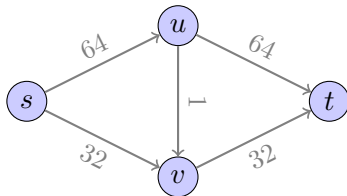
Нет $s-t$ путей в G_f

- Поток: нулевой поток;
- Δ : $\Delta = 96$;
- $G_f(\Delta)$: все ребра удаляются, поскольку их пропускные способности меньше 96.

ПРИМЕР: ШАГ 1



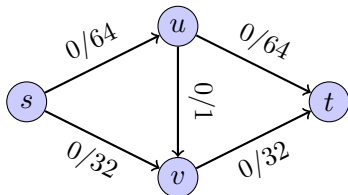
Поток $f : |f| = 0$



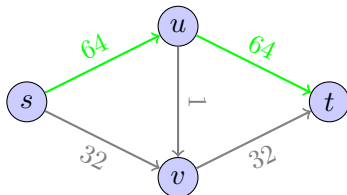
Нет $s - t$ путей в G_f

- Поток: нулевой поток;
- Δ : $\Delta = 96$;
- $G_f(\Delta)$: все ребра удаляются, поскольку их пропускные способности меньше 96.
- $s - t$ пути нет. Следовательно Δ масштабируется: $\Delta = \frac{\Delta}{2} = 48$.

ПРИМЕР: ШАГ 2



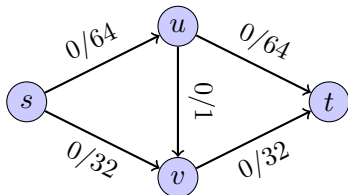
Поток $f : |f| = 0$



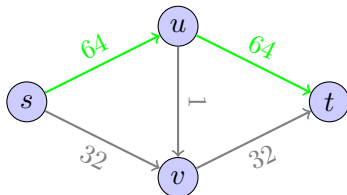
$s - t$ путь в G_f

- Поток: нулевой поток;

ПРИМЕР: ШАГ 2



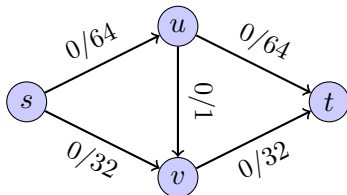
Поток $f : |f| = 0$



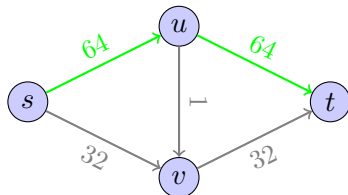
$s - t$ путь в G_f

- Поток: нулевой поток;
- Δ : $\Delta = 48$;

ПРИМЕР: ШАГ 2



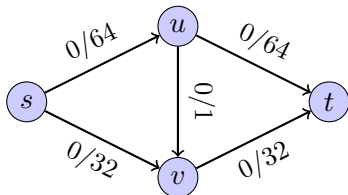
Поток $f : |f| = 0$



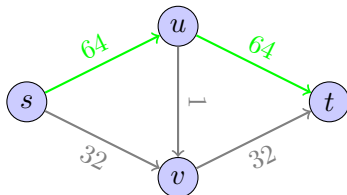
$s - t$ путь в G_f

- Поток: нулевой поток;
- Δ : $\Delta = 48$;
- $G_f(\Delta)$: три ребра удаляются, поскольку их пропускные способности меньше 48.

ПРИМЕР: ШАГ 2



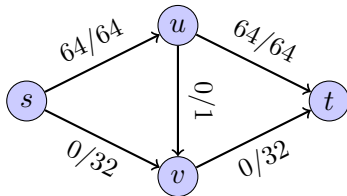
Поток $f : |f| = 0$



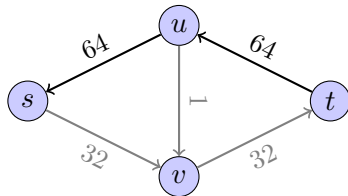
$s - t$ путь в G_f

- Поток: нулевой поток;
- Δ : $\Delta = 48$;
- $G_f(\Delta)$: три ребра удаляются, поскольку их пропускные способности меньше 48.
- $s - t$ путь: есть путь $s - u - t$. Выполняется операция увеличения потока.

ПРИМЕР: ШАГ 3



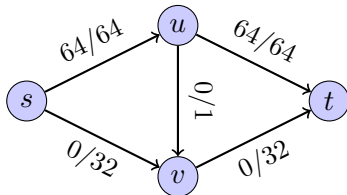
Поток $f : |f| = 64$



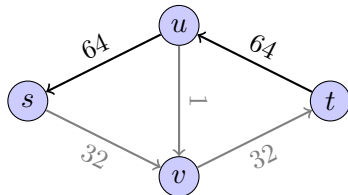
$s - t$ пути в G_f нет

- Поток: 64;

ПРИМЕР: ШАГ 3



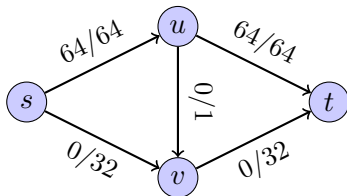
Поток $f : |f| = 64$



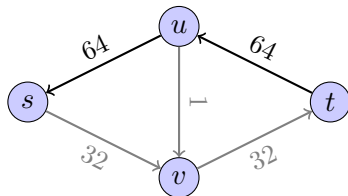
$s - t$ пути в G_f нет

- Поток: 64;
- Δ : $\Delta = 48$;

ПРИМЕР: ШАГ 3



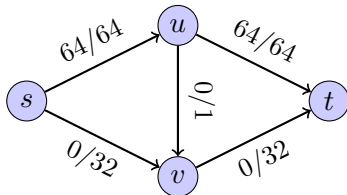
Поток $f : |f| = 64$



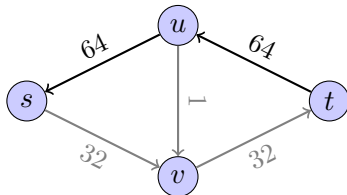
$s - t$ пути в G_f нет

- Поток: 64;
- Δ : $\Delta = 48$;
- $G_f(\Delta)$: три ребра удаляются, поскольку их пропускные способности меньше 48.

ПРИМЕР: ШАГ 3



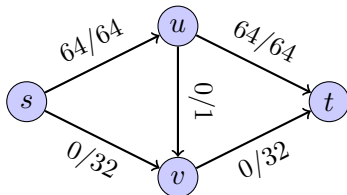
Поток $f : |f| = 64$



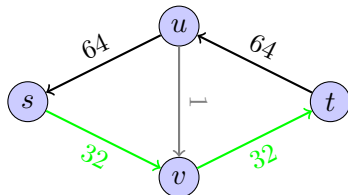
$s - t$ пути в G_f нет

- Поток: 64;
- Δ : $\Delta = 48$;
- $G_f(\Delta)$: три ребра удаляются, поскольку их пропускные способности меньше 48.
- $s - t$ путь: пути нет. Выполняется масштабирование: $\Delta = \frac{\Delta}{2} = 24$.

ПРИМЕР: ШАГ 4



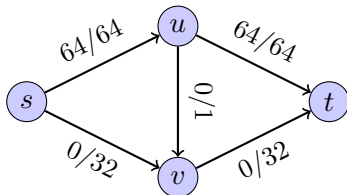
Поток $f : |f| = 64$



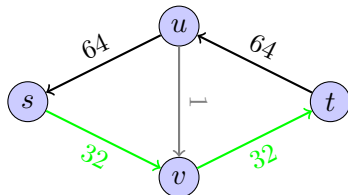
$s - t$ путь в G_f

- Поток: 64;

ПРИМЕР: ШАГ 4



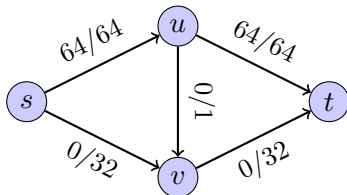
Поток $f : |f| = 64$



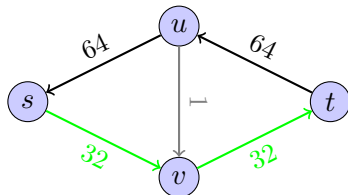
$s - t$ путь в G_f

- Поток: 64;
- Δ : $\Delta = 24$;

ПРИМЕР: ШАГ 4



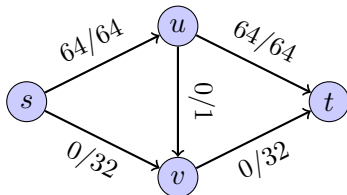
Поток $f : |f| = 64$



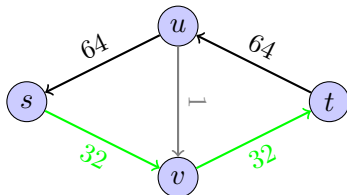
$s - t$ путь в G_f

- Поток: 64;
- Δ : $\Delta = 24$;
- $G_f(\Delta)$: одно ребро удаляется, поскольку его пропускная способность меньше 24.

ПРИМЕР: ШАГ 4



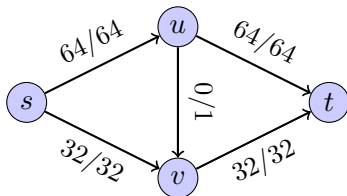
Поток $f : |f| = 64$



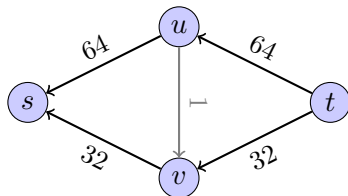
$s - t$ путь в G_f

- Поток: 64;
- Δ : $\Delta = 24$;
- $G_f(\Delta)$: одно ребро удаляется, поскольку его пропускная способность меньше 24.
- $s - t$ путь: найден путь: $s - v - t$. Выполняется операция увеличения потока.

ПРИМЕР: ШАГ 5



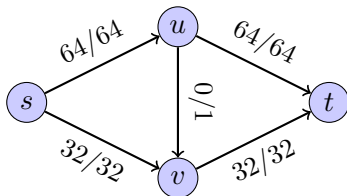
Поток $f : |f| = 96$



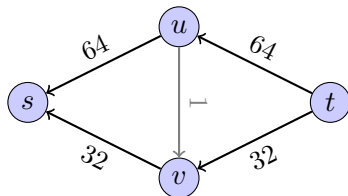
$s - t$ пути в G_f нет

- Поток: 96. Получен максимальный поток.

ПРИМЕР: ШАГ 5



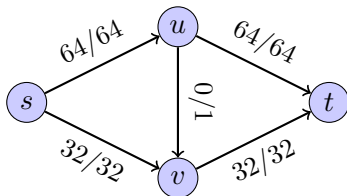
Поток $f : |f| = 96$



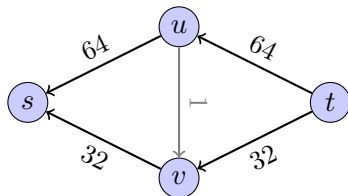
$s - t$ пути в G_f нет

- Поток: 96. Получен максимальный поток.
- $\Delta: \Delta = 24$;

ПРИМЕР: ШАГ 5



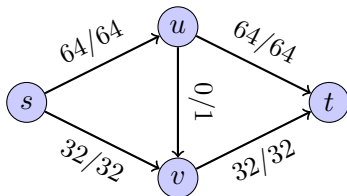
Поток $f : |f| = 96$



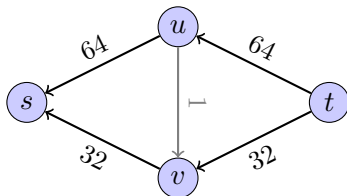
$s - t$ пути в G_f нет

- Поток: 96. Получен максимальный поток.
- $\Delta: \Delta = 24$;
- $G_f(\Delta)$: одно ребро удаляется, поскольку его пропускная способность меньше 24.

ПРИМЕР: ШАГ 5



Поток $f : |f| = 96$



$s - t$ пути в G_f нет

- Поток: 96. Получен максимальный поток.
- Δ : $\Delta = 24$;
- $G_f(\Delta)$: одно ребро удаляется, поскольку его пропускная способность меньше 24.
- $s - t$ путь: $s - t$ пути нет.

АНАЛИЗ: ВНЕШНИЙ ЦИКЛ `while`

ЛЕММА

(Внешний цикл `while`) Число итераций во внешнем цикле `while` не превосходит $1 + \log_2 C$.

АЛГОРИТМ ФОРДА - ФАЛКЕРСОНА с масштабированием:

- 1: Инициализация: $f(e) = 0$ для всех e .
- 2: Пусть $\Delta = C$;
- 3: **while** $\Delta \geq 1$ **do**
- 4: **while** существует $s - t$ путь в $G_f(\Delta)$ **do**
- 5: Выбрать $s - t$ путь p ;
- 6: $f = \text{AUGMENT}(p, f)$;
- 7: **end while**
- 8: $\Delta = \Delta/2$;
- 9: **end while**
- 10: **return** f ;

АНАЛИЗ: ВНУТРЕННИЙ ЦИКЛ while

THEOREM

(внутренний цикл while) При фиксированном Δ , число увеличений потока не превосходит $2m$.

АЛГОРИТМ ФОРДА - ФАЛКЕРСОНА с масштабированием:

- 1: Инициализация: $f(e) = 0$ для всех e .
- 2: Пусть $\Delta = C$;
- 3: while $\Delta \geq 1$ do
- 4: while существует $s - t$ путь в $G_f(\Delta)$ do
- 5: Выбрать $s - t$ путь p ;
- 6: $f = \text{AUGMENT}(p, f)$;
- 7: end while
- 8: $\Delta = \Delta/2$;
- 9: end while
- 10: return f ;

АНАЛИЗ: ВНУТРЕННИЙ ЦИКЛ while

ДОКАЗАТЕЛЬСТВО.

- 1 Пусть f — поток, полученный когда фаза с масштабом Δ завершилась, и f^* — максимальный поток. Мы имеем $|f| \geq |f^*| - m\Delta$.

АНАЛИЗ: ВНУТРЕННИЙ ЦИКЛ while

ДОКАЗАТЕЛЬСТВО.

- 1 Пусть f — поток, полученный когда фаза с масштабом Δ завершилась, и f^* — максимальный поток. Мы имеем $|f| \geq |f^*| - m\Delta$.
- 2 На последующей фазе с масштабом $\frac{\Delta}{2}$, после каждого шага увеличения величина потока $|f|$ увеличится по крайней мере на $\frac{\Delta}{2}$.

АНАЛИЗ: ВНУТРЕННИЙ ЦИКЛ while

ДОКАЗАТЕЛЬСТВО.

- 1 Пусть f — поток, полученный когда фаза с масштабом Δ завершилась, и f^* — максимальный поток. Мы имеем $|f| \geq |f^*| - m\Delta$.
- 2 На последующей фазе с масштабом $\frac{\Delta}{2}$, после каждого шага увеличения величина потока $|f|$ увеличится по крайней мере на $\frac{\Delta}{2}$.

Т.о., будет выполнено не более чем $2m$ увеличений потока на фазе с масштабом $\frac{\Delta}{2}$. □

АНАЛИЗ: ВНУТРЕННИЙ ЦИКЛ while

ДОКАЗАТЕЛЬСТВО.

- 1 Пусть f — поток, полученный когда фаза с масштабом Δ завершилась, и f^* — максимальный поток. Мы имеем $|f| \geq |f^*| - m\Delta$.
- 2 На последующей фазе с масштабом $\frac{\Delta}{2}$, после каждого шага увеличения величина потока $|f|$ увеличится по крайней мере на $\frac{\Delta}{2}$.

Т.о., будет выполнено не более чем $2m$ увеличений потока на фазе с масштабом $\frac{\Delta}{2}$. □

- Трудоемкость: $O(m^2 \log_2 C)$.

АНАЛИЗ: ВНУТРЕННИЙ ЦИКЛ `while`

ДОКАЗАТЕЛЬСТВО.

- 1 Пусть f — поток, полученный когда фаза с масштабом Δ завершилась, и f^* — максимальный поток. Мы имеем $|f| \geq |f^*| - m\Delta$.
- 2 На последующей фазе с масштабом $\frac{\Delta}{2}$, после каждого шага увеличения величина потока $|f|$ увеличится по крайней мере на $\frac{\Delta}{2}$.

Т.о., будет выполнено не более чем $2m$ увеличений потока на фазе с масштабом $\frac{\Delta}{2}$. □

- Трудоемкость: $O(m^2 \log_2 C)$.
 - $O(\log_2 C)$ раз выполняется внешний цикл `while`;

АНАЛИЗ: ВНУТРЕННИЙ ЦИКЛ `while`

ДОКАЗАТЕЛЬСТВО.

- ❶ Пусть f — поток, полученный когда фаза с масштабом Δ завершилась, и f^* — максимальный поток. Мы имеем $|f| \geq |f^*| - m\Delta$.
- ❷ На последующей фазе с масштабом $\frac{\Delta}{2}$, после каждого шага увеличения величина потока $|f|$ увеличится по крайней мере на $\frac{\Delta}{2}$.

Т.о., будет выполнено не более чем $2m$ увеличений потока на фазе с масштабом $\frac{\Delta}{2}$. □

- Трудоемкость: $O(m^2 \log_2 C)$.
 - $O(\log_2 C)$ раз выполняется внешний цикл `while`;
 - $O(m)$ раз выполняется внутренний цикл;

АНАЛИЗ: ВНУТРЕННИЙ ЦИКЛ `while`

ДОКАЗАТЕЛЬСТВО.

- 1 Пусть f — поток, полученный когда фаза с масштабом Δ завершилась, и f^* — максимальный поток. Мы имеем $|f| \geq |f^*| - m\Delta$.
- 2 На последующей фазе с масштабом $\frac{\Delta}{2}$, после каждого шага увеличения величина потока $|f|$ увеличится по крайней мере на $\frac{\Delta}{2}$.

Т.о., будет выполнено не более чем $2m$ увеличений потока на фазе с масштабом $\frac{\Delta}{2}$. □

- Трудоемкость: $O(m^2 \log_2 C)$.
 - $O(\log_2 C)$ раз выполняется внешний цикл `while`;
 - $O(m)$ раз выполняется внутренний цикл;
 - Каждый шаг увеличения требует $O(m)$ времени.

АНАЛИЗ: ВНУТРЕННИЙ ЦИКЛ `while`

ДОКАЗАТЕЛЬСТВО.

- 1 Пусть f — поток, полученный когда фаза с масштабом Δ завершилась, и f^* — максимальный поток. Мы имеем $|f| \geq |f^*| - m\Delta$.
- 2 На последующей фазе с масштабом $\frac{\Delta}{2}$, после каждого шага увеличения величина потока $|f|$ увеличится по крайней мере на $\frac{\Delta}{2}$.

Т.о., будет выполнено не более чем $2m$ увеличений потока на фазе с масштабом $\frac{\Delta}{2}$. □

- Трудоемкость: $O(m^2 \log_2 C)$.
 - $O(\log_2 C)$ раз выполняется внешний цикл `while`;
 - $O(m)$ раз выполняется внутренний цикл;
 - Каждый шаг увеличения требует $O(m)$ времени.
- Масштабирование — это один из способов сделать алгоритм расширения потока по путям полиномиальным по времени, если пропускные способности являются целыми числами.

ПОЧЕМУ $|f| \geq |f^*| - m\Delta$?

ДОКАЗАТЕЛЬСТВО.

- Пусть S — множество узлов достижимых из s в остаточной сети $G_f(\Delta)$, и $\bar{S} = V - S$. Т.о., (S, \bar{S}) — разрез, поскольку $S \neq \phi$ и $\bar{S} \neq \phi$.

ПОЧЕМУ $|f| \geq |f^*| - m\Delta$?

ДОКАЗАТЕЛЬСТВО.

- Пусть S — множество узлов достижимых из s в остаточной сети $G_f(\Delta)$, и $\bar{S} = V - S$. Т.о., (S, \bar{S}) — разрез, поскольку $S \neq \phi$ и $\bar{S} \neq \phi$.
- Исследуем два типа разрезаемых ребер $e = (u, v) \in E$.

ПОЧЕМУ $|f| \geq |f^*| - m\Delta$?

ДОКАЗАТЕЛЬСТВО.

- Пусть S — множество узлов достижимых из s в остаточной сети $G_f(\Delta)$, и $\bar{S} = V - S$. Т.о., (S, \bar{S}) — разрез, поскольку $S \neq \phi$ и $\bar{S} \neq \phi$.
- Исследуем два типа разрезаемых ребер $e = (u, v) \in E$.
 - ① $u \in S, v \in \bar{S}$: мы имеем $f(e) \geq C(e) - \Delta$. (Иначе, S должно быть расширено узлом v так как (u, v) в $G_f(\Delta)$.)

ПОЧЕМУ $|f| \geq |f^*| - m\Delta$?

ДОКАЗАТЕЛЬСТВО.

- Пусть S — множество узлов достижимых из s в остаточной сети $G_f(\Delta)$, и $\bar{S} = V - S$. Т.о., (S, \bar{S}) — разрез, поскольку $S \neq \phi$ и $\bar{S} \neq \phi$.
- Исследуем два типа разрезаемых ребер $e = (u, v) \in E$.
 - ① $u \in S, v \in \bar{S}$: мы имеем $f(e) \geq C(e) - \Delta$. (Иначе, S должно быть расширено узлом v так как (u, v) в $G_f(\Delta)$.)
 - ② $u \in \bar{S}, v \in S$: мы имеем $f(e) \leq \Delta$. (Иначе, S должно быть расширено узлом v так как (u, v) в $G_f(\Delta)$.)

ПОЧЕМУ $|f| \geq |f^*| - m\Delta$?

ДОКАЗАТЕЛЬСТВО.

- Пусть S — множество узлов достижимых из s в остаточной сети $G_f(\Delta)$, и $\bar{S} = V - S$. Т.о., (S, \bar{S}) — разрез, поскольку $S \neq \phi$ и $\bar{S} \neq \phi$.
- Исследуем два типа разрезаемых ребер $e = (u, v) \in E$.
 - ① $u \in S, v \in \bar{S}$: мы имеем $f(e) \geq C(e) - \Delta$. (Иначе, S должно быть расширено узлом v так как (u, v) в $G_f(\Delta)$.)
 - ② $u \in \bar{S}, v \in S$: мы имеем $f(e) \leq \Delta$. (Иначе, S должно быть расширено узлом v так как (u, v) в $G_f(\Delta)$.)
- Следовательно:

$$\begin{aligned}|f| &= \sum_{e \in S \rightarrow \bar{S}} f(e) - \sum_{e \in \bar{S} \rightarrow S} f(e) \\ &\geq \sum_{e \in S \rightarrow \bar{S}} (C(e) - \Delta) - \sum_{e \in \bar{S} \rightarrow S} \Delta \\ &\geq \sum_{e \in S \rightarrow \bar{S}} C(e) - m\Delta \\ &= C(S, \bar{S}) - m\Delta \\ &\geq |f^*| - m\Delta\end{aligned}$$

Улучшение 2: АЛГОРИТМ ЭДМОНСА - КАРПА.
Использование **кратчайших увеличивающих путей**

Алгоритм Эдмонса - Карпа [1972]



Рис.: Jack Edmonds, and Richard Karp

- Алгоритм был опубликован Диницем в 1970 и независимо Эдмонсом и Карпом в 1972.

EDMONDS-KARP(G)

- 1: Инициализация: $f(e) = 0$ для всех e .
- 2: **while** существует $s - t$ путь в G_f **do**
- 3: Найти **кратчайший** $s - t$ путь p в G_f используя **BFS**;
- 4: $f = \text{AUGMENT}(p, f)$;
- 5: **end while**
- 6: **return** f ;

THEOREM

АЛГОРИТМ ЭДМОНСА - КАРПА имеет трудоемкость $O(m^2n)$.

ДОКАЗАТЕЛЬСТВО.

- Во время выполнения АЛГОРИТМА ЭДМОНСА - КАРПА, ребро $e = (u, v)$ может быть в качестве **bottleneck** не более чем $\frac{n}{2}$ раз.

THEOREM

АЛГОРИТМ ЭДМОНСА - КАРПА имеет трудоемкость $O(m^2n)$.

ДОКАЗАТЕЛЬСТВО.

- Во время выполнения АЛГОРИТМА ЭДМОНСА - КАРПА, ребро $e = (u, v)$ может быть в качестве **bottleneck** не более чем $\frac{n}{2}$ раз.
- Т.о., цикл **while** будет выполняться $\frac{n}{2}m$ раз.

THEOREM

АЛГОРИТМ ЭДМОНСА - КАРПА имеет трудоемкость $O(m^2n)$.

ДОКАЗАТЕЛЬСТВО.

- Во время выполнения АЛГОРИТМА ЭДМОНСА - КАРПА, ребро $e = (u, v)$ может быть в качестве **bottleneck** не более чем $\frac{n}{2}$ раз.
- Т.о., цикл **while** будет выполняться $\frac{n}{2}m$ раз.
- Потребуется $O(m)$ времени чтобы найти кратчайший путь, используя BFS, а затем увеличить поток вдоль пути.



THEOREM

АЛГОРИТМ ЭДМОНСА - КАРПА имеет трудоемкость $O(m^2n)$.

ДОКАЗАТЕЛЬСТВО.

- Во время выполнения АЛГОРИТМА ЭДМОНСА - КАРПА, ребро $e = (u, v)$ может быть в качестве **bottleneck** не более чем $\frac{n}{2}$ раз.
- Т.о., цикл **while** будет выполняться $\frac{n}{2}m$ раз.
- Потребуется $O(m)$ времени чтобы найти кратчайший путь, используя BFS, а затем увеличить поток вдоль пути.



- АЛГОРИТМ ЭДМОНСА - КАРПА — полиномиальный: трудоемкость — полином от n и m , даже, если пропускные способности являются вещественными числами, и предполагается, что операция над вещественными числами требует единицы времени. Строгая полиномиальность является более естественной с комбинаторной точки зрения.

THEOREM

Любое ребро (u, v) в G может быть в качестве *bottleneck* не более чем $\frac{n}{2}$ раз

THEOREM

Любое ребро (u, v) в G может быть в качестве *bottleneck* не более чем $\frac{n}{2}$ раз

ДОКАЗАТЕЛЬСТВО.

- Для остаточной сети G_f , разобьем узлы по уровням L_0, L_1, \dots , где $L_0 = \{s\}$, и L_i содержит все узлы v такие, что кратчайший путь из s в v имеет длину i . Пусть $d_f(u)$ обозначает номер уровня узла u , т.е. расстояние от s до u в G_f .

THEOREM

Любое ребро (u, v) в G может быть в качестве *bottleneck* не более чем $\frac{n}{2}$ раз

ДОКАЗАТЕЛЬСТВО.

- Для остаточной сети G_f , разобьем узлы по уровням L_0, L_1, \dots , где $L_0 = \{s\}$, и L_i содержит все узлы v такие, что кратчайший путь из s в v имеет длину i . Пусть $d_f(u)$ обозначает номер уровня узла u , т.е. расстояние от s до u в G_f .
- Рассмотрим два последовательных появления ребра (u, v) в качестве узкого места, пусть это произошло на шаге k и на шаге k''' .

THEOREM

Любое ребро (u, v) в G может быть в качестве *bottleneck* не более чем $\frac{n}{2}$ раз

ДОКАЗАТЕЛЬСТВО.

- Для остаточной сети G_f , разобьем узлы по уровням L_0, L_1, \dots , где $L_0 = \{s\}$, и L_i содержит все узлы v такие, что кратчайший путь из s в v имеет длину i . Пусть $d_f(u)$ обозначает номер уровня узла u , т.е. расстояние от s до u в G_f .
- Рассмотрим два последовательных появления ребра (u, v) в качестве узкого места, пусть это произошло на шаге k и на шаге k''' .
 - На шаге k , мы имеем $d_f(v) = d_f(u) + 1$. Отметим, что после увеличения потока, ребро $e = (u, v)$ изменит свое направление.

THEOREM

Любое ребро (u, v) в G может быть в качестве *bottleneck* не более чем $\frac{n}{2}$ раз

ДОКАЗАТЕЛЬСТВО.

- Для остаточной сети G_f , разобьем узлы по уровням L_0, L_1, \dots , где $L_0 = \{s\}$, и L_i содержит все узлы v такие, что кратчайший путь из s в v имеет длину i . Пусть $d_f(u)$ обозначает номер уровня узла u , т.е. расстояние от s до u в G_f .
- Рассмотрим два последовательных появления ребра (u, v) в качестве узкого места, пусть это произошло на шаге k и на шаге k''' .
 - На шаге k , мы имеем $d_f(v) = d_f(u) + 1$. Отметим, что после увеличения потока, ребро $e = (u, v)$ изменит свое направление.
 - На шаге k''' , $e = (u, v)$ становится **BOTTLENECK**-ребром снова, поэтому ребро $e' = (v, u)$ изменит направление, которое она имела на шаге предшествующем k''' , скажем это шаг k'' .

ТЕОРЕМ

Любое ребро (u, v) в G может быть в качестве *bottleneck* не более чем $\frac{n}{2}$ раз

ДОКАЗАТЕЛЬСТВО.

- Для остаточной сети G_f , разобьем узлы по уровням L_0, L_1, \dots , где $L_0 = \{s\}$, и L_i содержит все узлы v такие, что кратчайший путь из s в v имеет длину i . Пусть $d_f(u)$ обозначает номер уровня узла u , т.е. расстояние от s до u в G_f .
- Рассмотрим два последовательных появления ребра (u, v) в качестве узкого места, пусть это произошло на шаге k и на шаге k''' .
 - На шаге k , мы имеем $d_f(v) = d_f(u) + 1$. Отметим, что после увеличения потока, ребро $e = (u, v)$ изменит свое направление.
 - На шаге k''' , $e = (u, v)$ становится **БОТТЛЕНЕК**-ребром снова, поэтому ребро $e' = (v, u)$ изменит направление, которое она имела на шаге предшествующем k''' , скажем это шаг k'' .
 - На шаге k'' , мы имеем $d_{f''}(u) = d_{f''}(v) + 1$.

ТЕОРЕМ

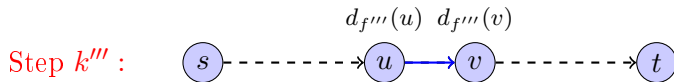
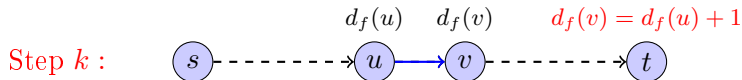
Любое ребро (u, v) в G может быть в качестве *bottleneck* не более чем $\frac{n}{2}$ раз

ДОКАЗАТЕЛЬСТВО.

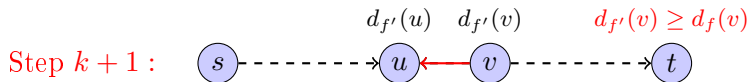
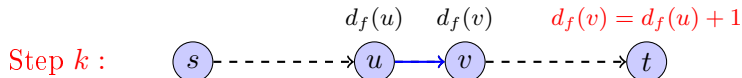
- Для остаточной сети G_f , разобьем узлы по уровням L_0, L_1, \dots , где $L_0 = \{s\}$, и L_i содержит все узлы v такие, что кратчайший путь из s в v имеет длину i . Пусть $d_f(u)$ обозначает номер уровня узла u , т.е. расстояние от s до u в G_f .
- Рассмотрим два последовательных появления ребра (u, v) в качестве узкого места, пусть это произошло на шаге k и на шаге k''' .
 - На шаге k , мы имеем $d_f(v) = d_f(u) + 1$. Отметим, что после увеличения потока, ребро $e = (u, v)$ изменит свое направление.
 - На шаге k''' , $e = (u, v)$ становится **BOTTLENECK**-ребром снова, поэтому ребро $e' = (v, u)$ изменит направление, которое она имела на шаге предшествующем k''' , скажем это шаг k'' .
 - На шаге k'' , мы имеем $d_{f''}(u) = d_{f''}(v) + 1$.

- T.o., $d_{f''}(u) = d_{f''}(v) + 1 \geq d_{f'}(v) + 1 \geq d_f(u) + 2$.

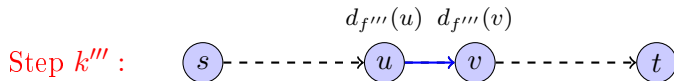
АНАЛИЗ АЛГОРИТМ ЭДМОНСА - КАРПА



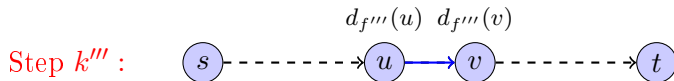
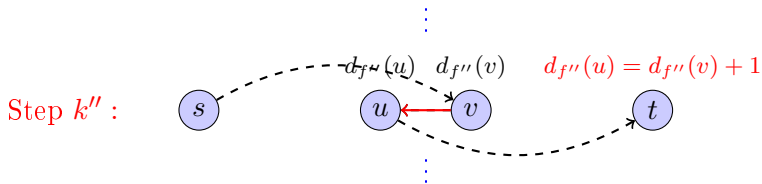
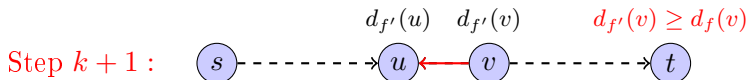
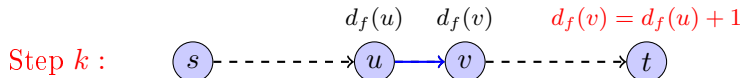
АНАЛИЗ АЛГОРИТМ ЭДМОНСА - КАРПА

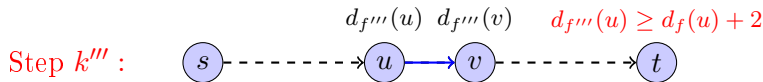
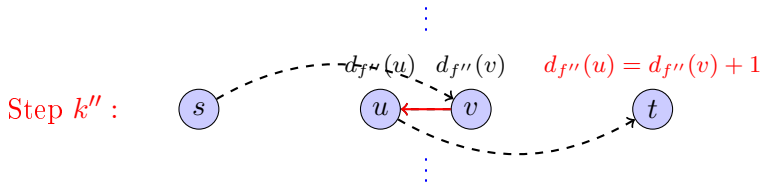
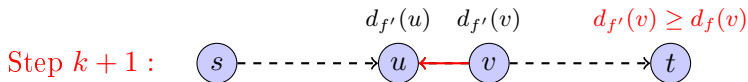
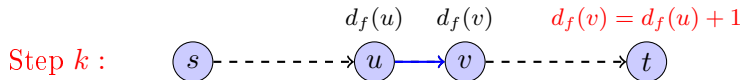


\vdots



АНАЛИЗ АЛГОРИТМ ЭДМОНСА - КАРПА





THEOREM

Рассмотрим поток f и соответствующую остаточную сеть G_f .

НОМЕР УРОВНЯ УЗЛА НИКОГДА НЕ УМЕНЬШАЕТСЯ

THEOREM

Рассмотрим поток f и соответствующую остаточную сеть G_f . Предположим, что кратчайший путь p из s в t в сети G_f был выбран в качестве увеличивающего.

НОМЕР УРОВНЯ УЗЛА НИКОГДА НЕ УМЕНЬШАЕТСЯ

THEOREM

Рассмотрим поток f и соответствующую остаточную сеть G_f . Предположим, что кратчайший путь p из s в t в сети G_f был выбран в качестве увеличивающего. После увеличения получен поток f' . Тогда для любого узла v , $d_f(v) \leq d_{f'}(v)$.

НОМЕР УРОВНЯ УЗЛА НИКОГДА НЕ УМЕНЬШАЕТСЯ

THEOREM

Рассмотрим поток f и соответствующую остаточную сеть G_f . Предположим, что кратчайший путь p из s в t в сети G_f был выбран в качестве увеличивающего. После увеличения получен поток f' . Тогда для любого узла v , $d_f(v) \leq d_{f'}(v)$.

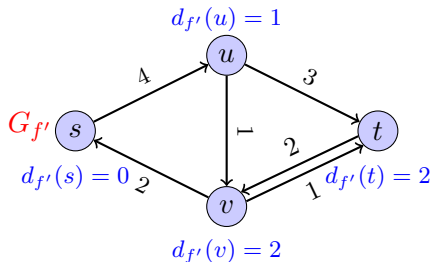
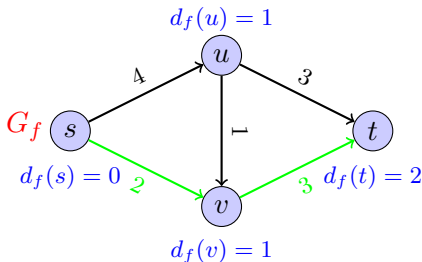
Др. словами: Для любого узла v , расстояние $d_f(v)$ в остаточной сети G_f никогда не уменьшается, если кратчайший увеличивающий путь выбран для увеличения потока.

НОМЕР УРОВНЯ УЗЛА НИКОГДА НЕ УМЕНЬШАЕТСЯ

THEOREM

Рассмотрим поток f и соответствующую остаточную сеть G_f . Предположим, что кратчайший путь p из s в t в сети G_f был выбран в качестве увеличивающего. После увеличения получен поток f' . Тогда для любого узла v , $d_f(v) \leq d_{f'}(v)$.

Др. словами: Для любого узла v , расстояние $d_f(v)$ в остаточной сети G_f никогда не уменьшается, если кратчайший увеличивающий путь выбран для увеличения потока.



ДОКАЗАТЕЛЬСТВО.

- Впервые мы утверждаем, что для любого ребра (v_i, v_j) в $G_{f'}$, $d_f(v_j) \leq d_f(v_i) + 1$.

ДОКАЗАТЕЛЬСТВО.

- Впервые мы утверждаем, что для любого ребра (v_i, v_j) в $G_{f'}$, $d_f(v_j) \leq d_f(v_i) + 1$.
 - Случай 1: (v_i, v_j) в G_f , например (u, v) : Очевидно.

ДОКАЗАТЕЛЬСТВО.

- Вопервых мы утверждаем, что для любого ребра (v_i, v_j) в $G_{f'}$, $d_f(v_j) \leq d_f(v_i) + 1$.
 - Случай 1: (v_i, v_j) в G_f , например (u, v) : Очевидно.
 - Случай 2: (v_i, v_j) не принадлежит G_f : В качестве примера возьмем (u, s) . (s, u) должна быть в увеличивающем (кратчайшем) пути в G_f и следовательно $d_f(u) = d_f(s) + 1$.

ДОКАЗАТЕЛЬСТВО.

- Вопервых мы утверждаем, что для любого ребра (v_i, v_j) в $G_{f'}$, $d_f(v_j) \leq d_f(v_i) + 1$.
 - Случай 1: (v_i, v_j) в G_f , например (u, v) : Очевидно.
 - Случай 2: (v_i, v_j) не принадлежит G_f : В качестве примера возьмем (u, s) . (s, u) должна быть в увеличивающем (кратчайшем) пути в G_f и следовательно $d_f(u) = d_f(s) + 1$.
- Далее, предположим $d_{f'}(v) = r$. Пусть $(s, v_1, \dots, v_{r-1}, v)$ — кратчайший путь до v в $G_{f'}$.

ДОКАЗАТЕЛЬСТВО.

- Вопервых мы утверждаем, что для любого ребра (v_i, v_j) в $G_{f'}$, $d_f(v_j) \leq d_f(v_i) + 1$.
 - Случай 1: (v_i, v_j) в G_f , например (u, v) : Очевидно.
 - Случай 2: (v_i, v_j) не принадлежит G_f : В качестве примера возьмем (u, s) . (s, u) должна быть в увеличивающем (кратчайшем) пути в G_f и следовательно $d_f(u) = d_f(s) + 1$.
- Далее, предположим $d_{f'}(v) = r$. Пусть $(s, v_1, \dots, v_{r-1}, v)$ — кратчайший путь до v в $G_{f'}$.
Мы имеем:

$$\begin{aligned}d_f(v) &\leq d_f(v_{r-1}) + 1 \\&\leq d_f(v_{r-2}) + 2 \\&\dots \\&\leq d_f(s) + r \\&= r\end{aligned}$$

Улучшение 3: Алгоритм Диница и его варианты

- Идея:
 - Ускорить алгоритм Форда - Фалкерсона с помощью структуры данных.

- Идея:
 - Ускорить алгоритм Форда - Фалкерсона с помощью структуры данных.
 - Отметим, что поиск увеличивающего пути занимает $O(m)$ времени. В дереве BFS, есть ребра, которые можно насытить и они попадут в разрез между s и t . Т. о., весьма ценно сохранить **такую информацию**, для последующих итераций.

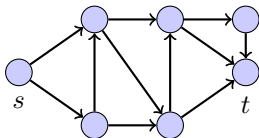
- Идея:
 - Ускорить алгоритм Форда - Фалкерсона с помощью структуры данных.
 - Отметим, что поиск увеличивающего пути занимает $O(m)$ времени. В дереве BFS, есть ребра, которые можно насытить и они попадут в разрез между s и t . Т. о., весьма ценно сохранить **такую информацию**, для последующих итераций.
 - **BFS дерево** дополняется до **уровневой сети**:

- Идея:
 - Ускорить алгоритм Форда - Фалкерсона с помощью структуры данных.
 - Отметим, что поиск увеличивающего пути занимает $O(m)$ времени. В дереве BFS, есть ребра, которые можно насытить и они попадут в разрез между s и t . Т. о., весьма ценно сохранить **такую информацию**, для последующих итераций.
 - **BFS дерево** дополняется до **уровневой сети**:
 - BFS дерево: содержит **одно ребро, ведущее в узел v** ;

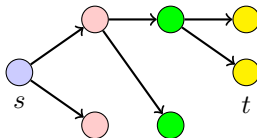
Идея:

- Ускорить АЛГОРИТМ ФОРДА - ФАЛКЕРСОНА с помощью структуры данных.
- Отметим, что поиск увеличивающего пути занимает $O(m)$ времени. В дереве BFS, есть ребра, которые можно насытить и они попадут в разрез между s и t . Т. о., весьма ценно сохранить **такую информацию**, для последующих итераций.
- BFS дерево** дополняется до **уровневой сети**:
 - BFS дерево: содержит **одно ребро, ведущее в узел v** ;
 - Уровневая сеть: содержит **все ребра, находящиеся на кратчайших $s - t$ путях в остаточной сети**.

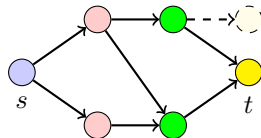
Теперь, самый короткий $s - t$ путь может быть найден за время $O(n)$.



Остаточная сеть G_f



BFS дерево



Уровневая сеть N_f

- 1 **Блокирующий поток** так же известен как **кратчайший насыщающий поток** насыщает все кратчайшие $s - t$ пути в остаточной сети. После увеличения потока блокирующим потоком, число уровней увеличивается и уровень узла t увеличивается **по крайней мере на 1**.

- 1 **Блокирующий поток** так же известен как **кратчайший насыщающий поток** насыщает все кратчайшие $s - t$ пути в остаточной сети. После увеличения потока блокирующим потоком, число уровней увеличивается и уровень узла t увеличивается **по крайней мере на 1**.
- 2 **DFS**: Алгоритмом DFS ищется путь в уровневой сети. На это тратится $O(n)$ времени (используются номера уровней узлов). Наоборот, алгоритм Эдмонса - Карпа использует BFS чтобы найти кратчайший путь в остаточной сети, что требует $O(m)$ времени.

- 1 **Блокирующий поток** так же известен как **кратчайший насыщающий поток** насыщает все кратчайшие $s - t$ пути в остаточной сети. После увеличения потока блокирующим потоком, число уровней увеличивается и уровень узла t увеличивается **по крайней мере на 1**.
- 2 **DFS**: Алгоритмом DFS ищется путь в уровневой сети. На это тратится $O(n)$ времени (используются номера уровней узлов). Наоборот, алгоритм Эдмонса - Карпа использует BFS чтобы найти кратчайший путь в остаточной сети, что требует $O(m)$ времени.

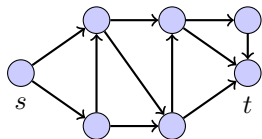
Отметим, что: при работе на двудольном графе алгоритм Диница совпадает с алгоритмом Хопкрофта-Карпа.

DINIC'S-MAX-FLOW(G)

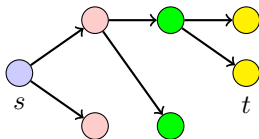
- 1: Инициализация: $f(e) = 0$ для всех e .
- 2: **while** TRUE **do**
- 3: Построить **уровневую сеть** N_f из **остаточной сети** G_f , используя BFS;
- 4: **if** t не достижим из s в G_f **then**
- 5: break;
- 6: **end if**
- 7: Найти **блокирующий поток** b_f в N_f , используя **DFS**;
- 8: Увеличить поток $f = f + b_f$;
- 9: **end while**
- 10: **return** f ;

CONSTRUCT-LAYERED-NETWORK(G_f)

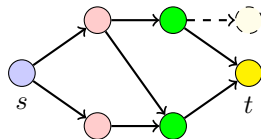
- 1: Положить $d_f(s) = 0$, $d_f(v) = \infty$ для всех узлов $v \neq s$, и добавить s в очередь Q ;
- 2: Построить уровневую сеть $N_f = (V_f, E_f)$, положив $V_f = \{s\}$ и $E_f = \{\}$;
- 3: **while** Q не пустая **do**
- 4: $v = Q.dequeue()$;
- 5: **for** каждого ребра (v, w) в G_f **do**
- 6: **if** $d_f(w) = \infty$ **then**
- 7: $Q.enqueue(w)$; $d_f(w) = d_f(v) + 1$;
- 8: $V_f = V_f \cup \{w\}$; $E_f = E_f \cup \{(v, w)\}$;
- 9: **end if**
- 10: **if** $d_f(w) = d_f(v) + 1$ **then**
- 11: $E_f = E_f \cup \{(v, w)\}$;
- 12: **end if**
- 13: **end for**
- 14: **end while**
- 15: Выполнить BFS в N_f из узла t , двигаясь по ребрам в обратном направлении, и удалить узел v из N_f , если v не достижим;
- 16: **return** N_f ;



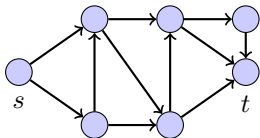
Остаточная сеть G_f



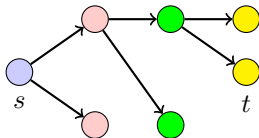
дерево BFS



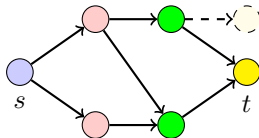
Уровневая сеть N_f



Остаточная сеть G_f

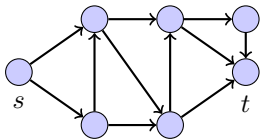


дерево BFS

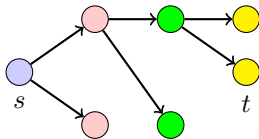


Уровневая сеть N_f

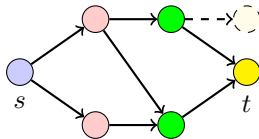
- Отличие от стандартной процедуры BFS в том, что каждое ребро (v, w) с $d_f(w) = d_f(v) + 1$ добавляется в N_f даже, если w уже был добавлен в очередь Q . Т.о., для каждой вершины v , все ребра из кратчайших путей от s до v добавляются в N_f .



Остаточная сеть G_f



дерево BFS



Уровневая сеть N_f

- Отличие от стандартной процедуры BFS в том, что каждое ребро (v, w) с $d_f(w) = d_f(v) + 1$ добавляется в N_f даже, если w уже был добавлен в очередь Q . Т.о., для каждой вершины v , все ребра из кратчайших путей от s до v добавляются в N_f .
- Узлы (и инцидентные им ребра), не находящиеся на кратчайших путях от s до t , будут удалены из N_f , например, узел и ребра нарисованные пунктиром.

НАХОЖДЕНИЕ БЛОКИРУЮЩЕГО ПОТОКА В УРОВНЕВОЙ СЕТИ N_f

DINIC-BLOCKING-FLOW(N_f)

- 1: Установить b_f как 0-поток;
- 2: **while** существует ребро исходящее из s в N_f **do**
- 3: Найти путь p из s , имеющий максимальную длину в N_f ;
- 4: **if** p доходит до t **then**
- 5: $b_f = \text{AUGMENT}(p, b_f)$;
- 6: Удалить из N_f насыщенные ребра пути p ;
- 7: **else**
- 8: Удалить узел, являющийся последним в p (и инцидентные ребра);
- 9: **end if**
- 10: **end while**
- 11: **return** b_f ;

- Выполнение алгоритма можно разделить на **фазы**, каждая фаза состоит из построения уровневой сети и построения в ней блокирующего потока.

- Выполнение алгоритма можно разделить на **фазы**, каждая фаза состоит из построения уровневой сети и построения в ней блокирующего потока.
- **Блокирующий поток** содержит **набор** кратчайших $s - t$ путей в G_f . После насыщения этих путей, узел t становится недостижимым из s .

- Выполнение алгоритма можно разделить на **фазы**, каждая фаза состоит из построения уровневой сети и построения в ней блокирующего потока.
- **Блокирующий поток** содержит **набор** кратчайших $s - t$ путей в G_f . После насыщения этих путей, узел t становится недостижимым из s .
- Замечание: после построения уровневой сети за время $O(m)$, находится блокирующий поток. На построение увеличивающего пути тратится $O(n)$ времени. Напротив алгоритм Эдмонса - Карпа производит увеличение **только по одному** $s - t$ пути после выполнения BFS. На это тратится время $O(m)$.

Трудоемкость: $O(mn^2)$

- $\#WHILE = O(n)$. (Причина: После увеличения потока блокирующим потоком, расстояние $d_f(t)$ должно возрасти по крайней мере на 1.)

Трудоемкость: $O(mn^2)$

- $\#WHILE = O(n)$. (Причина: После увеличения потока блокирующим потоком, расстояние $d_f(t)$ должно возрасти по крайней мере на 1.)
- На каждой итерации тратится $O(m)$ времени на построение уровневой сети, используя BFS, и тратится $O(mn)$ времени на нахождение блокирующего потока, поскольку:

Трудоемкость: $O(mn^2)$

- $\#WHILE = O(n)$. (Причина: После увеличения потока блокирующим потоком, расстояние $d_f(t)$ должно возрасти по крайней мере на 1.)
- На каждой итерации тратится $O(m)$ времени на построение уровневой сети, используя BFS, и тратится $O(mn)$ времени на нахождение блокирующего потока, поскольку:
 - ① Тратится $O(n)$ времени на нахождение $s - t$ пути в уровневой сети N_f , используя DFS.

Трудоемкость: $O(mn^2)$

- $\#WHILE = O(n)$. (Причина: После увеличения потока блокирующим потоком, расстояние $d_f(t)$ должно возрасти по крайней мере на 1.)
- На каждой итерации тратится $O(m)$ времени на построение уровневой сети, используя BFS, и тратится $O(mn)$ времени на нахождение блокирующего потока, поскольку:
 - 1 Тратится $O(n)$ времени на нахождение $s - t$ пути в уровневой сети N_f , используя DFS.
 - 2 По крайней мере одно ребро в увеличивающем пути будет насыщено и, поэтому удалено из N_f .

Трудоемкость: $O(mn^2)$

- $\#WHILE = O(n)$. (Причина: После увеличения потока блокирующим потоком, расстояние $d_f(t)$ должно возрасти по крайней мере на 1.)
- На каждой итерации тратится $O(m)$ времени на построение уровневой сети, используя BFS, и тратится $O(mn)$ времени на нахождение блокирующего потока, поскольку:
 - 1 Тратится $O(n)$ времени на нахождение $s - t$ пути в уровневой сети N_f , используя DFS.
 - 2 По крайней мере одно ребро в увеличивающем пути будет насыщено и, поэтому удалено из N_f .
 - 3 Т.о., потребуется не более, чем m итераций для вычисления блокирующего потока.

РАССТОЯНИЕ $d_f(t)$ ВОЗРАСТАЕТ ПО КРАЙНЕЙ МЕРЕ НА 1 НА КАЖДОЙ ФАЗЕ

THEOREM

Рассмотрим поток f и соответствующую уровневую сеть N_f . Предположим, что блокирующий поток b_f найден в N_f и после увеличения построен новый поток f' . Тогда $d_{f'}(t) \geq d_f(t) + 1$.

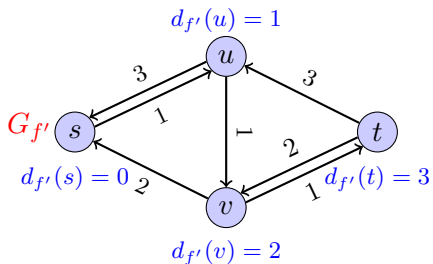
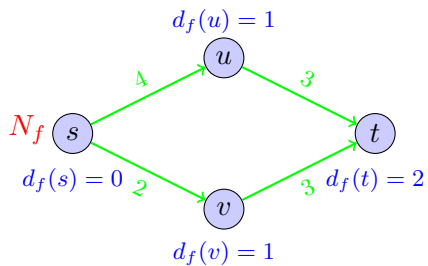
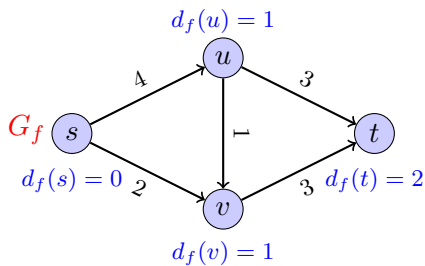
РАССТОЯНИЕ $d_f(t)$ ВОЗРАСТАЕТ ПО КРАЙНЕЙ МЕРЕ НА 1 НА КАЖДОЙ ФАЗЕ

THEOREM

Рассмотрим поток f и соответствующую уровневую сеть N_f . Предположим, что блокирующий поток b_f найден в N_f и после увеличения построен новый поток f' . Тогда $d_{f'}(t) \geq d_f(t) + 1$.

- Отметим: Если увеличение потока f осуществляется только вдоль одного кратчайшего пути, скажем, $s \rightarrow v \rightarrow t$ в следующем примере, то $d_{f'}(t) = d_f(t) = 2$. Напротив, когда увеличение потока f осуществляется вдоль всех кратчайших путей, то $d_{f'}(t) \geq d_f(t) + 1$.

ПРИМЕР



- Предположим противное, что выполняется $d_{f'}(t) = d_f(t) = r$. Пусть $p = (s, v_1, \dots, v_{r-1}, t)$ кратчайший путь до t в $G_{f'}$. Тогда

$$\begin{aligned} d_f(t) &\leq d_f(v_{r-1}) + 1 \\ &\dots\dots \\ &\leq d_f(s) + r = r \end{aligned}$$

- Предположим противное, что выполняется $d_{f'}(t) = d_f(t) = r$. Пусть $p = (s, v_1, \dots, v_{r-1}, t)$ кратчайший путь до t в $G_{f'}$. Тогда

$$\begin{aligned} d_f(t) &\leq d_f(v_{r-1}) + 1 \\ &\dots\dots \\ &\leq d_f(s) + r = r \end{aligned}$$

- По нашему предположению $d_f(t) = r$, все “ \leq ” в формуле выше должны быть “ $=$ ”. Из равенства $d_f(v_{i+1}) = d_f(v_i) + 1$ следует, что ребро (v_i, v_{i+1}) должно присутствовать в G_f (Иначе (v_i, v_{i+1}) должно генерироваться как обратное к (v_{i+1}, v_i) , и т.о., $d_f(v_i) = d_f(v_{i+1}) + 1$).

- Предположим противное, что выполняется $d_{f'}(t) = d_f(t) = r$. Пусть $p = (s, v_1, \dots, v_{r-1}, t)$ кратчайший путь до t в $G_{f'}$. Тогда

$$\begin{aligned} d_f(t) &\leq d_f(v_{r-1}) + 1 \\ &\dots\dots \\ &\leq d_f(s) + r = r \end{aligned}$$

- По нашему предположению $d_f(t) = r$, все “ \leq ” в формуле выше должны быть “ $=$ ”. Из равенства $d_f(v_{i+1}) = d_f(v_i) + 1$ следует, что ребро (v_i, v_{i+1}) должно присутствовать в G_f (Иначе (v_i, v_{i+1}) должно генерироваться как обратное к (v_{i+1}, v_i) , и т.о., $d_f(v_i) = d_f(v_{i+1}) + 1$).
- Т.о., p является также путем в G_f . Более того, p должен быть кратчайшим путем в G_f так как p имеет длину r и $d_f(t) = r$.

- Предположим противное, что выполняется $d_{f'}(t) = d_f(t) = r$. Пусть $p = (s, v_1, \dots, v_{r-1}, t)$ кратчайший путь до t в $G_{f'}$. Тогда

$$\begin{aligned} d_f(t) &\leq d_f(v_{r-1}) + 1 \\ &\dots\dots \\ &\leq d_f(s) + r = r \end{aligned}$$

- По нашему предположению $d_f(t) = r$, все “ \leq ” в формуле выше должны быть “ $=$ ”. Из равенства $d_f(v_{i+1}) = d_f(v_i) + 1$ следует, что ребро (v_i, v_{i+1}) должно присутствовать в G_f (Иначе (v_i, v_{i+1}) должно генерироваться как обратное к (v_{i+1}, v_i) , и т.о., $d_f(v_i) = d_f(v_{i+1}) + 1$).
- Т.о., p является также путем в G_f . Более того, p должен быть кратчайшим путем в G_f так как p имеет длину r и $d_f(t) = r$.
- Напомним, что $G_{f'}$ построена из G_f посредством насыщения всех кратчайших путей (включая p) в G_f . Т.о., по крайней мере одно ребро в p полностью насыщается и не должно присутствовать в $G_{f'}$. Получили противоречие с предположением, что p является путем в $G_{f'}$.

Обобщения задачи о максимальном потоке

1. МАКСИМАЛЬНЫЙ ПОТОК в сети с неориентированными ребрами;

- 1 МАКСИМАЛЬНЫЙ ПОТОК в сети с неориентированными ребрами;
- 2 Произвольное число источников и/или стоков;

- 1 Максимальный поток в сети с неориентированными ребрами;
- 2 Произвольное число источников и/или стоков;
- 3 Нижняя граница на пропускную способность;

- 1 МАКСИМАЛЬНЫЙ ПОТОК в сети с неориентированными ребрами;
- 2 Произвольное число источников и/или стоков;
- 3 Нижняя граница на пропускную способность;
- 4 Ограничение пропускной способности вершин

ОБОБЩЕНИЕ 1: НЕОРИЕНТИРОВАННЫЕ РЕБРА

- Превращаем неориентированный граф G в ориентированный граф G' :

ОБОБЩЕНИЕ 1: НЕОРИЕНТИРОВАННЫЕ РЁБРА

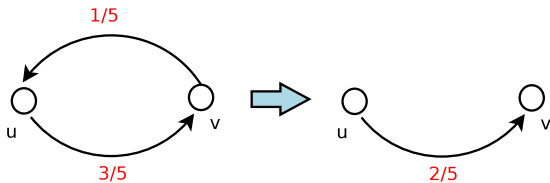
- Превращаем неориентированный граф G в ориентированный граф G' :
 - ① ребра: для каждого ребра (u, v) из G , создается пара ориентированных рёбер $e = (u, v)$ и $e' = (v, u)$ в G' ;

ОБОБЩЕНИЕ 1: НЕОРИЕНТИРОВАННЫЕ РЕБРА

- Превращаем неориентированный граф G в ориентированный граф G' :
 - ① ребра: для каждого ребра (u, v) из G , создается пара ориентированных рёбер $e = (u, v)$ и $e' = (v, u)$ в G' ;
 - ② пропускная способность: полагаем $C(e') = C(e)$.

ОБЩЕНИЕ 1: НЕОРИЕНТИРОВАННЫЕ РЕБРА

- Превращаем неориентированный граф G в ориентированный граф G' :
 - 1 ребра: для каждого ребра (u, v) из G , создается пара ориентированных рёбер $e = (u, v)$ и $e' = (v, u)$ в G' ;
 - 2 пропускная способность: полагаем $C(e') = C(e)$.
- Алгоритм: сначала вычисляем максимальный поток f' для сети G' ; затем преобразовываем f' в f .



Note: a/b means $f(e) = a$, and capacity $C(e)=b$.

ОБОВЩЕНИЕ 1: НЕОРИЕНТИРОВАННЫЕ РЕБРА

Ключевое наблюдение: существует максимальный поток, который использует не более одного из двух противоположных ребер. Формально имеем:

ОБЩЕНИЕ 1: НЕОРИЕНТИРОВАННЫЕ РЕБРА

Ключевое наблюдение: существует максимальный поток, который использует не более одного из двух противоположных ребер. Формально имеем:

THEOREM

Существует максимальный поток f для сети G , где $f(u, v) = 0$ или $f(v, u) = 0$.

ОБОВЩЕНИЕ 1: НЕОРИЕНТИРОВАННЫЕ РЕБРА

Ключевое наблюдение: существует максимальный поток, который использует не более одного из двух противоположных ребер. Формально имеем:

THEOREM

Существует максимальный поток f для сети G , где $f(u, v) = 0$ или $f(v, u) = 0$.

ДОКАЗАТЕЛЬСТВО.

- Предположим f' — это максимальный поток для сети G' , где $f'(u, v) > 0$ и $f'(v, u) > 0$. Заменим f' на f следующим образом:

ОБОВЩЕНИЕ 1: НЕОРИЕНТИРОВАННЫЕ РЕБРА

Ключевое наблюдение: существует максимальный поток, который использует не более одного из двух противоположных ребер. Формально имеем:

THEOREM

Существует максимальный поток f для сети G , где $f(u, v) = 0$ или $f(v, u) = 0$.

ДОКАЗАТЕЛЬСТВО.

- Предположим f' — это максимальный поток для сети G' , где $f'(u, v) > 0$ и $f'(v, u) > 0$. Заменяем f' на f следующим образом:
- Пусть $\delta = \min\{f'(u, v), f'(v, u)\}$.

ОБОВЩЕНИЕ 1: НЕОРИЕНТИРОВАННЫЕ РЕБРА

Ключевое наблюдение: существует максимальный поток, который использует не более одного из двух противоположных ребер. Формально имеем:

THEOREM

Существует максимальный поток f для сети G , где $f(u, v) = 0$ или $f(v, u) = 0$.

ДОКАЗАТЕЛЬСТВО.

- Предположим f' — это максимальный поток для сети G' , где $f'(u, v) > 0$ и $f'(v, u) > 0$. Заменим f' на f следующим образом:
- Пусть $\delta = \min\{f'(u, v), f'(v, u)\}$.
- Положим $f(u, v) = f'(u, v) - \delta$, и $f(v, u) = f'(v, u) - \delta$.

ОБЩЕНИЕ 1: НЕОРИЕНТИРОВАННЫЕ РЕБРА

Ключевое наблюдение: существует максимальный поток, который использует не более одного из двух противоположных ребер. Формально имеем:

THEOREM

Существует максимальный поток f для сети G , где $f(u, v) = 0$ или $f(v, u) = 0$.

ДОКАЗАТЕЛЬСТВО.

- Предположим f' — это максимальный поток для сети G' , где $f'(u, v) > 0$ и $f'(v, u) > 0$. Заменяем f' на f следующим образом:
- Пусть $\delta = \min\{f'(u, v), f'(v, u)\}$.
- Положим $f(u, v) = f'(u, v) - \delta$, и $f(v, u) = f'(v, u) - \delta$.
- f имеет то же значение, что и f' , и, таким образом, оптимально. В тоже время $f(u, v) = 0$ или $f(v, u) = 0$.



ОБОВЩЕНИЕ 2: Произвольное число источников и/или стоков

Циркуляция

ВХОД: сеть $G = \langle V, E \rangle$, каждое ребро e имеет пропускную способность $C(e) > 0$, несколько источников s_i и стоков t_j . Сток t_j имеет спрос $d_j > 0$, а источник s_i имеет запас (обозначаемый как $d_i < 0$). Для простоты мы определим $d_v = 0$ для других узлов. Таким образом, мы имеем $\sum_i d_i = 0$. Пусть $D = \sum_{d_v > 0} d_v$ — суммарный спрос.

ОБЩЕНИЕ 2: Произвольное число источников и/или стоков

Циркуляция

ВХОД: сеть $G = \langle V, E \rangle$, каждое ребро e имеет пропускную способность $C(e) > 0$, несколько источников s_i и стоков t_j . Сток t_j имеет спрос $d_j > 0$, а источник s_i имеет запас (обозначаемый как $d_i < 0$). Для простоты мы определим $d_v = 0$ для других узлов. Таким образом, мы имеем $\sum_i d_i = 0$. Пусть $D = \sum_{d_v > 0} d_v$ — суммарный спрос.

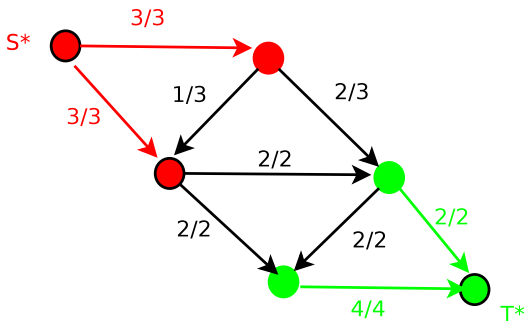
ВЫХОД: циркуляция f , удовлетворяющая всех потребителей с использованием доступного предложения, т. е.

- ❶ (Ограничение о пропускной способности):
$$0 \leq f(e) \leq C(e);$$
- ❷ (Ограничение по спросу): $f^{in}(v) - f^{out}(v) = d_v;$

Отметим, что: Циркуляция отличается от Многопродуктовой задачи тем, что существует ТОЛЬКО один товар. Другими словами, приемник может принять товар из любого источника. И наоборот, в Многопродуктовой задаче t_i принимает только товар k_i из s_i .

Отметим, что: Циркуляция отличается от Многопродуктовой задачи тем, что существует ТОЛЬКО один товар. Другими словами, приемник может принять товар из любого источника. И наоборот, в Многопродуктовой задаче t_i принимает только товар k_i из s_i .

Сведение: строится сеть G' путем добавления суперисточника s^* , из которого идут ребра в каждый источник s_i с емкостью $C(s^*, s_i) = -d_i$. Аналогично, добавляется суперсток t^* , к которому идут ребра из каждого стока t_j с емкостью $C(t_j, t^*) = d(t_j)$.



Note: a/b means $f(e) = a$, and capacity $C(e)=b$.

THEOREM

Существует допустимое решение задачи Циркуляция, если величина максимального потока из s^ в t^* в G' совпадает с D .*

THEOREM

Существует допустимое решение задачи Циркуляция, если величина максимального потока из s^ в t^* в G' совпадает с D .*

ДОКАЗАТЕЛЬСТВО.

• \Leftarrow :

Просто удалим все ребра (s^*, s_i) и (t_j, t^*) .

THEOREM

Существует допустимое решение задачи Циркуляция, если величина максимального потока из s^ в t^* в G' совпадает с D .*

ДОКАЗАТЕЛЬСТВО.

• \Leftarrow :

Просто удалим все ребра (s^*, s_i) и (t_j, t^*) .

• \Rightarrow :

❶ Построим поток f так: $f(s^*, s_i) = -d_i$ и $f(t_j, t^*) = d_j$.

THEOREM

Существует допустимое решение задачи Циркуляция, если величина максимального потока из s^ в t^* в G' совпадает с D .*

ДОКАЗАТЕЛЬСТВО.

• \Leftarrow :

Просто удалим все ребра (s^*, s_i) и (t_j, t^*) .

• \Rightarrow :

- ❶ Построим поток f так: $f(s^*, s_i) = -d_i$ и $f(t_j, t^*) = d_j$.
- ❷ Рассмотрим разрез (S, \bar{S}) , где $S = \{s^*\}$.

THEOREM

Существует допустимое решение задачи Циркуляция, если величина максимального потока из s^ в t^* в G' совпадает с D .*

ДОКАЗАТЕЛЬСТВО.

• \Leftarrow :

Просто удалим все ребра (s^*, s_i) и (t_j, t^*) .

• \Rightarrow :

- 1 Построим поток f так: $f(s^*, s_i) = -d_i$ и $f(t_j, t^*) = d_j$.
- 2 Рассмотрим разрез (S, \bar{S}) , где $S = \{s^*\}$.
- 3 Имеем $C(S, \bar{S}) = D$. Таким образом, f является максимальным потоком, поскольку он достигает максимального значения.



ОБОВЩЕНИЕ 3: НИЖНЯЯ ГРАНИЦА НА ПРОПУСКНУЮ СПОСОБНОСТЬ

ВХОД: сеть $G = (V, E)$, каждое ребро e имеет верхнюю границу на пропускную способность $C(e) > 0$, и нижнюю границу на пропускную способность $L(e) > 0$, несколько источников s_i и стоков t_j . Сток t_j имеет спрос $d_j > 0$, а источник s_i имеет запас (обозначаемый как $d_i < 0$). Для простоты мы определим $d_v = 0$ для других узлов. Таким образом, мы имеем $\sum_i d_i = 0$. Пусть $D = \sum_{d_v > 0} d_v$ — суммарный спрос.

ОБОВЩЕНИЕ 3: НИЖНЯЯ ГРАНИЦА НА ПРОПУСКНУЮ СПОСОБНОСТЬ

ВХОД: сеть $G = (V, E)$, каждое ребро e имеет верхнюю границу на пропускную способность $C(e) > 0$, и нижнюю границу на пропускную способность $L(e) > 0$, несколько источников s_i и стоков t_j . Сток t_j имеет спрос $d_j > 0$, а источник s_i имеет запас (обозначаемый как $d_i < 0$). Для простоты мы определим $d_v = 0$ для других узлов. Таким образом, мы имеем $\sum_i d_i = 0$. Пусть $D = \sum_{d_v > 0} d_v$ — суммарный спрос.

ВЫХОД: циркуляция f удовлетворяющая всех потребителей с использованием доступного предложения, т. е.,

ОБОВЩЕНИЕ 3: НИЖНЯЯ ГРАНИЦА НА ПРОПУСКНУЮ СПОСОБНОСТЬ

ВХОД: сеть $G = (V, E)$, каждое ребро e имеет верхнюю границу на пропускную способность $C(e) > 0$, и нижнюю границу на пропускную способность $L(e) > 0$, несколько источников s_i и стоков t_j . Сток t_j имеет спрос $d_j > 0$, а источник s_i имеет запас (обозначаемый как $d_i < 0$). Для простоты мы определим $d_v = 0$ для других узлов. Таким образом, мы имеем $\sum_i d_i = 0$. Пусть $D = \sum_{d_v > 0} d_v$ — суммарный спрос.

ВЫХОД: циркуляция f удовлетворяющая всех потребителей с использованием доступного предложения, т. е.,

- ① (Ограничение о пропускной способности):
$$L(e) \leq f(e) \leq C(e);$$

ОБЩЕНИЕ 3: Нижняя граница на пропускную способность

ВХОД: сеть $G = (V, E)$, каждое ребро e имеет верхнюю границу на пропускную способность $C(e) > 0$, и нижнюю границу на пропускную способность $L(e) > 0$, несколько источников s_i и стоков t_j . Сток t_j имеет спрос $d_j > 0$, а источник s_i имеет запас (обозначаемый как $d_i < 0$). Для простоты мы определим $d_v = 0$ для других узлов. Таким образом, мы имеем $\sum_i d_i = 0$. Пусть $D = \sum_{d_v > 0} d_v$ — суммарный спрос.

ВЫХОД: циркуляция f удовлетворяющая всех потребителей с использованием доступного предложения, т. е.,

- ❶ (Ограничение о пропускной способности):
$$L(e) \leq f(e) \leq C(e);$$
- ❷ (Ограничение по спросу): $f^{in}(v) - f^{out}(v) = d_v;$

ОБЩЕНИЕ 3: Нижняя граница на пропускную способность

ВХОД: сеть $G = (V, E)$, каждое ребро e имеет верхнюю границу на пропускную способность $C(e) > 0$, и нижнюю границу на пропускную способность $L(e) > 0$, несколько источников s_i и стоков t_j . Сток t_j имеет спрос $d_j > 0$, а источник s_i имеет запас (обозначаемый как $d_i < 0$). Для простоты мы определим $d_v = 0$ для других узлов. Таким образом, мы имеем $\sum_i d_i = 0$. Пусть $D = \sum_{d_v > 0} d_v$ — суммарный спрос.

ВЫХОД: циркуляция f удовлетворяющая всех потребителей с использованием доступного предложения, т. е.,

- ❶ (Ограничение о пропускной способности):
$$L(e) \leq f(e) \leq C(e);$$
- ❷ (Ограничение по спросу): $f^{in}(v) - f^{out}(v) = d_v;$

Замечание: для каждого ребра e , мы требуем чтобы

$$L(e) \leq f(e) \leq C(e)$$

ОБОВЩЕНИЕ 3: НИЖНЯЯ ГРАНИЦА НА ПРОПУСКНУЮ СПОСОБНОСТЬ

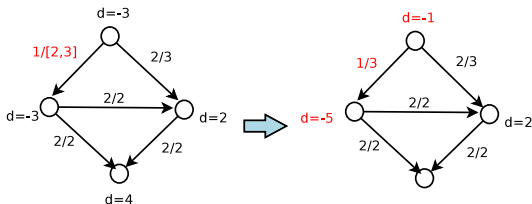
Сведение:

- 1 Построим исходную циркуляцию f_0 , установив $f_0(e) = L(e)$.

ОБОВЩЕНИЕ 3: НИЖНЯЯ ГРАНИЦА НА ПРОПУСКНУЮ СПОСОБНОСТЬ

Сведение:

- 1 Построим исходную циркуляцию f_0 , установив $f_0(e) = L(e)$.
- 2 Улучшим f_0 до циркуляции f' . Для этого решим еще одну задачу ЦИРКУЛЯЦИЯ: создадим сеть G' без нижних границ на пропускную способность и со спросами: $d'_v = d_v - L(w, v)$.



Note: $a/[l,b]$ means $f(e) = a$, and capacity $L(e)=l$, and $C(e)=b$.

ОБОВЩЕНИЕ 3: НИЖНЯЯ ГРАНИЦА НА ПРОПУСКНУЮ СПОСОБНОСТЬ

THEOREM

Существует циркуляция f в G (с нижними границами) тогда и только тогда, когда существует циркуляция f' в G' .

ОБОВЩЕНИЕ 3: НИЖНЯЯ ГРАНИЦА НА ПРОПУСКНУЮ СПОСОБНОСТЬ

THEOREM

Существует циркуляция f в G (с нижними границами) тогда и только тогда, когда существует циркуляция f' в G' .

ДОКАЗАТЕЛЬСТВО.

Построим f' : $f'(e) = f(e) + L_e$. Легко проверить, что все ограничения выполняются. □

ОБОВЩЕНИЕ 4: ОГРАНИЧЕНИЕ ПРОПУСКНОЙ СПОСОБНОСТИ ВЕРШИН

Каждую вершину v с ограниченной пропускной способностью c_v расщепляем на две вершины v_{in} и v_{out} . Все рёбра, до расщепления входящие в v , теперь входят в v_{in} . Все рёбра, до расщепления исходящие из v , теперь исходят из v_{out} . Добавляем ребро (v_{in}, v_{out}) с пропускной способностью c_v .

Приложения Задачи о максимальном потоке

Формулировка задачи:

- 1 Как определить s и t ? Иногда требуются суперисточник s^* и суперсток t^* .

Формулировка задачи:

- 1 Как определить s и t ? Иногда требуются суперисточник s^* и суперсток t^* .
- 2 Как определить пропускные способности L_e и C_e ?

Формулировка задачи:

- 1 Как определить s и t ? Иногда требуются суперисточник s^* и суперсток t^* .
- 2 Как определить пропускные способности L_e и C_e ?
- 3 Иногда минимальный разрез более подходит в качестве критерия, чем максимальный поток.

Формулировка задачи:

- 1 Как определить s и t ? Иногда требуются суперисточник s^* и суперсток t^* .
- 2 Как определить пропускные способности L_e и C_e ?
- 3 Иногда минимальный разрез более подходит в качестве критерия, чем максимальный поток.
- 4 Необходимо доказать, что максимальный поток соответствует решению исходной задачи.

Формулировка задачи:

- 1 Как определить s и t ? Иногда требуются суперисточник s^* и суперсток t^* .
- 2 Как определить пропускные способности L_e и C_e ?
- 3 Иногда минимальный разрез более подходит в качестве критерия, чем максимальный поток.
- 4 Необходимо доказать, что максимальный поток соответствует решению исходной задачи.

Примечание: большинство проблем используют свойство, что существует максимальный целочисленный поток, если существует максимальный поток.

Обобщение: задача с несколькими оптимальными решениями

НЕСКОЛЬКО ОПТИМАЛЬНЫХ РЕШЕНИЙ

- В некоторых случаях может быть несколько оптимальных решений, то есть несколько потоков с одинаковым максимальным значением потока.

НЕСКОЛЬКО ОПТИМАЛЬНЫХ РЕШЕНИЙ

- В некоторых случаях может быть несколько оптимальных решений, то есть несколько потоков с одинаковым максимальным значением потока.
- Кроме того, эти максимальные потоки могут иметь совпадающие потоки по некоторым ребрам. Другими словами, эти ребра являются «необходимыми» ребрами.

НЕСКОЛЬКО ОПТИМАЛЬНЫХ РЕШЕНИЙ

- В некоторых случаях может быть несколько оптимальных решений, то есть несколько потоков с одинаковым максимальным значением потока.
- Кроме того, эти максимальные потоки могут иметь совпадающие потоки по некоторым ребрам. Другими словами, эти ребра являются «необходимыми» ребрами.
- Иногда нам нужно перечислить все эти оптимальные решения или получить небольшую выборку из этих оптимальных решений.